

Université Paris 7  
UFR des Sciences de la Terre, de l'environnement et des planètes  
L3 Géosciences fondamentales

*Rayonnement, transfert radiatif,  
télédétection*

*Stéphane Jacquemoud*

Janvier 2007

## Première partie : les bases

### I. Définitions et historique

#### I.1. Définition

#### I.2. Quelques dates

### II. Quelques bases physiques

#### II.1. Le rayonnement électromagnétique (REM)

#### II.2. Le spectre du rayonnement électromagnétique

#### II.3. Les sources de rayonnement

#### II.4. La constante solaire

### III. Le système Terre-atmosphère

#### III.1. L'atmosphère terrestre

#### III.2. Les surfaces terrestres

### IV. Interactions onde / matière

#### IV.1. Absorption du REM

#### IV.2. Diffusion du REM par une particule

#### III.2. Diffusion du REM par une surface

### V. Les plates-formes de télédétection

#### VI.1. Plates-formes terrestres

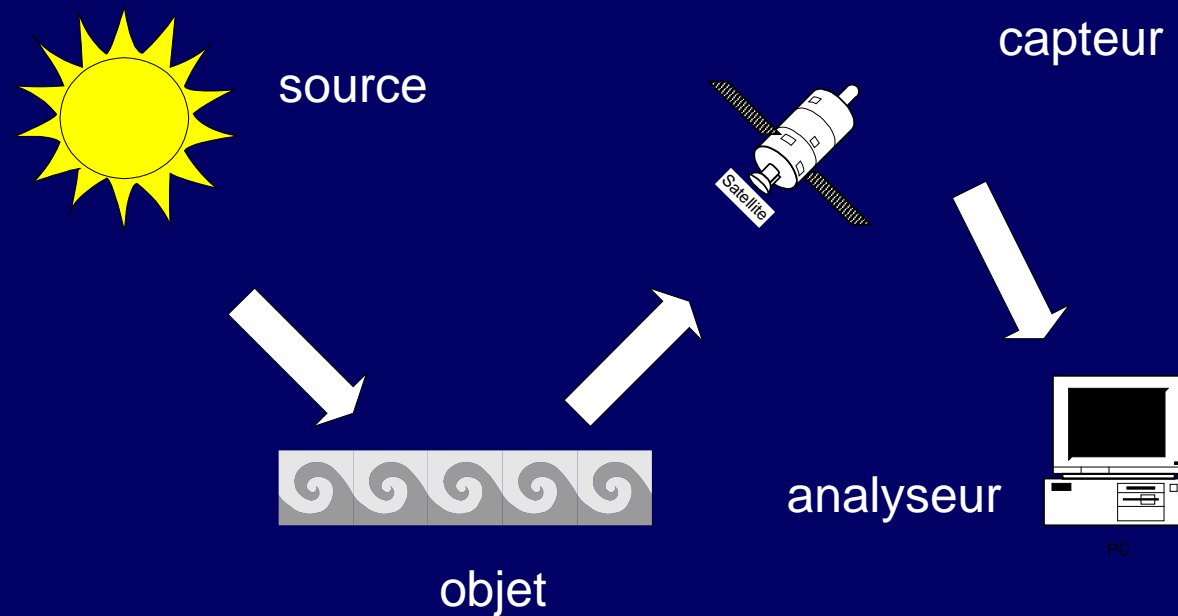
#### VI.2. Plates-formes aériennes

#### VI.3. Plates-formes spatiales

# I. Définition et historique

## I.1. Définition

Télédétection = ensemble des connaissances et techniques utilisées pour déterminer des caractéristiques physiques et biologiques d'objets par des mesures effectuées à distance sans contact matériel avec ceux-ci



## I.2. Quelques dates

1783 premier vol en ballon avec un être humain à son bord par François Pilâtre de Rozier



Annonay, 4 juin 1783, les frères Joseph et Etienne Montgolfier réalisent la première expérience aérostatique publique. Ce premier aérostat, non monté, s'éleva jusqu'à une hauteur de 1000 m



Paris, 21 novembre 1783, premier vol humain à bord d'une montgolfière par le physicien Jean-François Pilâtre de Rozier

- 1837 invention de la plaque photographique par Louis Daguerre  
1903 les frères Auguste et Louis Lumière inventent l'autochrome, plaque teintée des trois couleurs fondamentales  
1935 mise sur le marché de la première pellicule couleur diapositive Kodachrome par Kodak  
1942 premier film commercial infrarouge



*M. Huet* par Louis  
Daguerre, 1837



Photographie de la guerre civile américaine,  
*First Bull Run*, Juillet 1861 (Library of Congress)



*Nature morte*, 1910, autochrome des frères  
Lumière

H. DAUMIER



NADAR

élevant la photographie à la hauteur de l'Art.

En 1858, Nadar (1820-1910) réalise la première photographie aérienne de Paris, depuis un ballon captif à 80 mètres d'altitude, au dessus du Petit-Bicêtre.

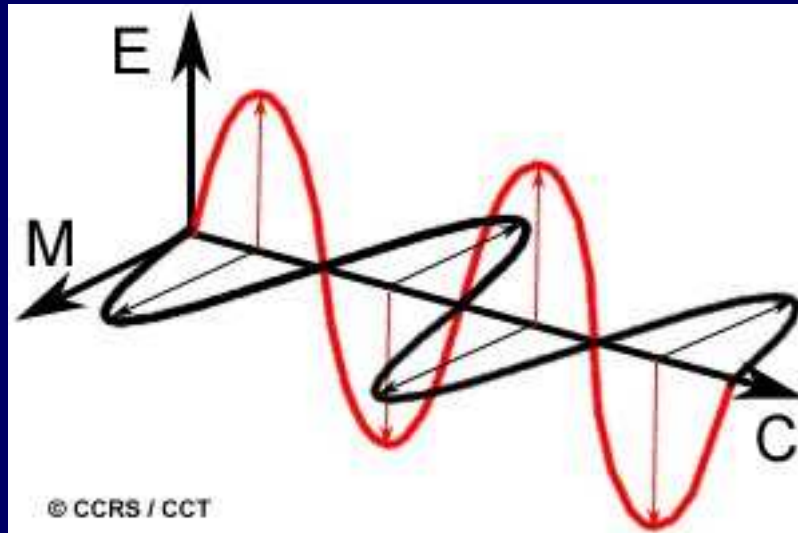
- 1961 Youri Gagarine est le premier homme à voler dans l'espace à bord du Vostok 1
- 1962 survol de Vénus par **Mariner 2**
- 1965 survol de Mars par **Mariner 4**
- 1972 mise sur orbite du premier satellite de télédétection des ressources terrestres : **ERTS 1–MSS** (*Earth Resources Technology Satellite / Multi-Spectral Scanner*)
- 1977 lancement de Météosat F1
- 1979 survol de Jupiter par **Voyager 2** et survol de Saturne par **Pioneer 11**
- 1986 premier satellite de télédétection français : **SPOT 1–HRV** (*Satellite Probatoire d'Observation de la Terre / High Resolution Visible*)
- 1991 premier radar à synthèse d'ouverture de télédétection des ressources terrestres : **ERS1–AMI** (*Earth Resources Satellite / Active Microwave Instrument*)
- 1996 premier capteur multidirectionnel : **ADEOS–POLDER** (*Advanced Earth Observing Satellite / Polarization and Directionality of the Earth's Reflectances*)
- 1999 plate-forme spatiale **Terra–ASTER/CERES/MISR/MODIS/MOPITT** (*Advanced Spaceborne Thermal Emission and Reflection Radiometer / Clouds and the Earth's Radiant Energy System / Multi-angle Imaging SpectroRadiometer / MODerate Resolution Imaging Spectroradiometer / Measurements Of Pollution In The Tropospher*)
- 2002 lancement de **MSG-1** (*Meteosat Second Generation*)
- 2006 lancement du satellite **ALOS** (*Advanced Land Observing Satellite*)
- 2007 lancement du satellite **COROT** (*COnvection, Rotation & planetary Transits*)



## II. Quelques bases physiques

## II.1. Le rayonnement électromagnétique (REM)

Un rayonnement est une énergie transportée dans l'espace sous forme d'ondes ou de particules :  
dualité ondes-particules

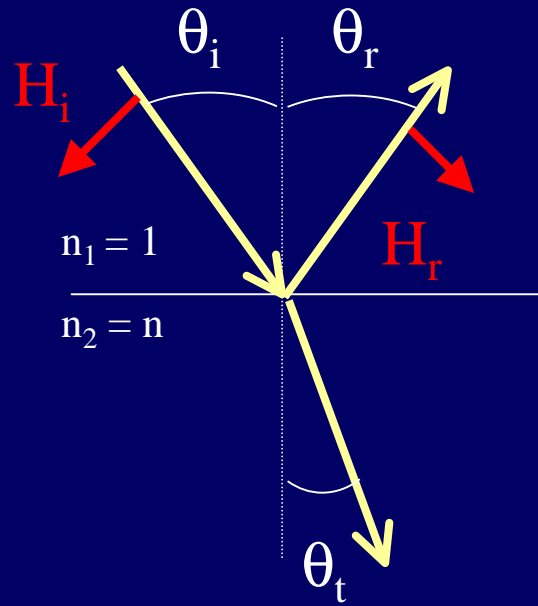


Champ électrique :  $\vec{E}$

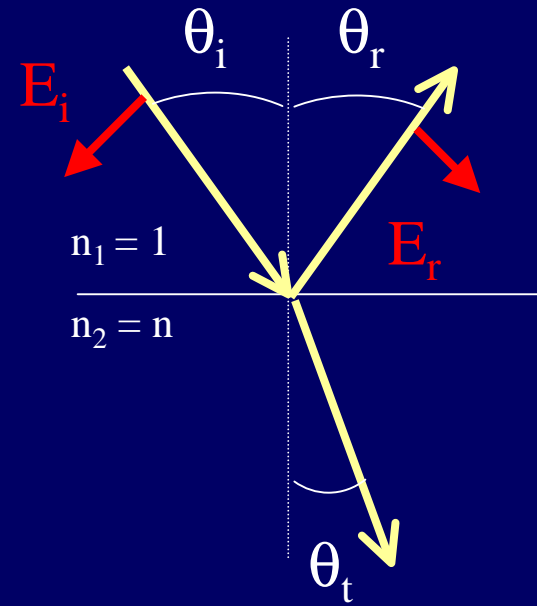
Induction magnétique :  $\vec{B}$

Le rayonnement électromagnétique (REM) est caractérisé par cinq quantités :

- la direction de propagation
- l'intensité
- la longueur d'onde  $\lambda$  (ou la fréquence  $\nu = c / \lambda$  ou le nombre d'onde  $\sigma = 1 / \lambda$ )
- la polarisation (parallèle ou perpendiculaire)
- la phase



Polarisation perpendiculaire



Polarisation parallèle

## II.2. Le spectre du REM

Domaine optique

30 nm - 3  $\mu\text{m}$

⇒ réflectance

Infrarouge thermique

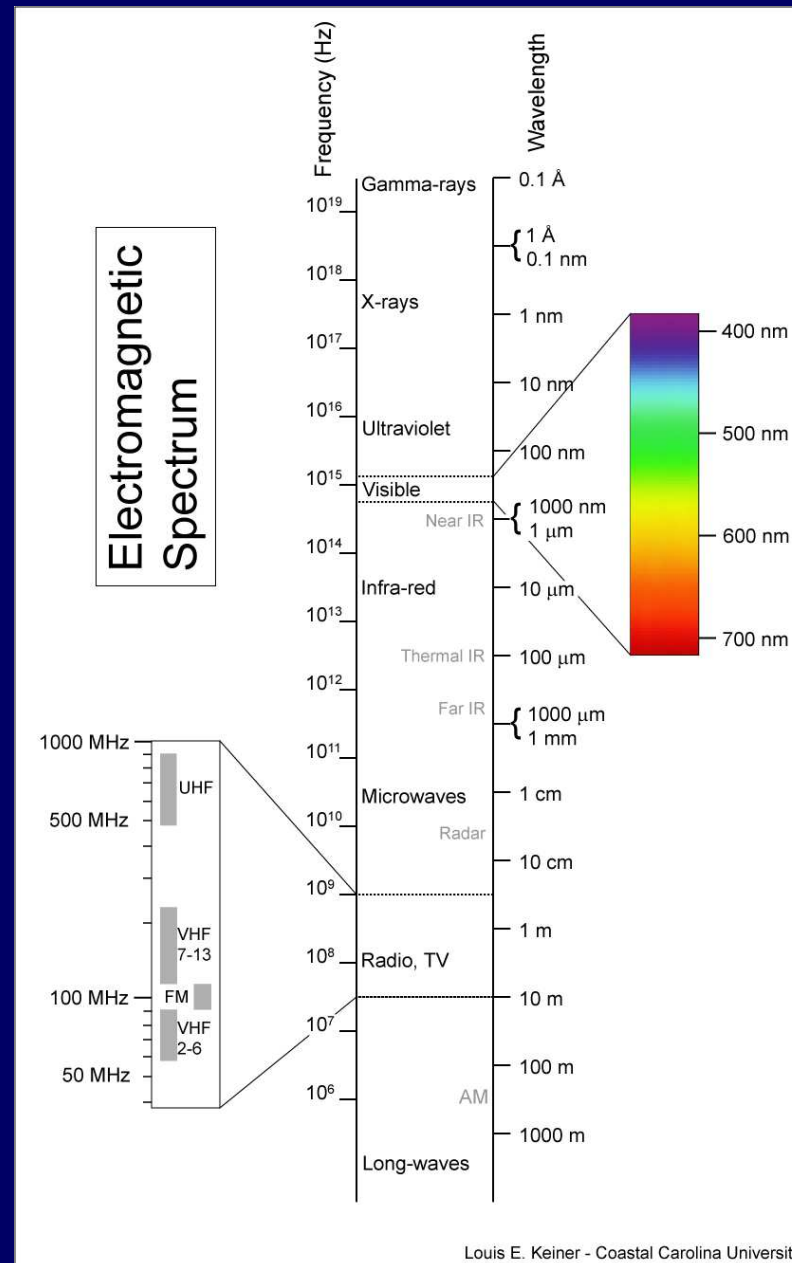
3  $\mu\text{m}$  - 1 mm

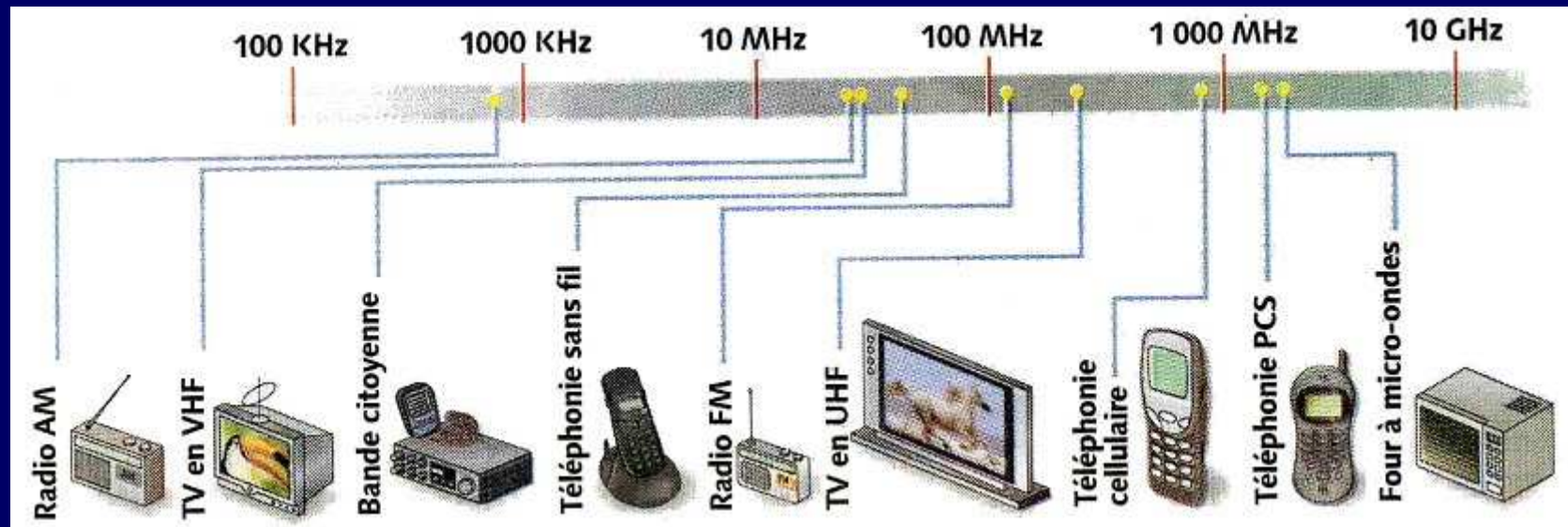
⇒ température de surface

Domaine des hyperfréquences

1 mm - 30 cm

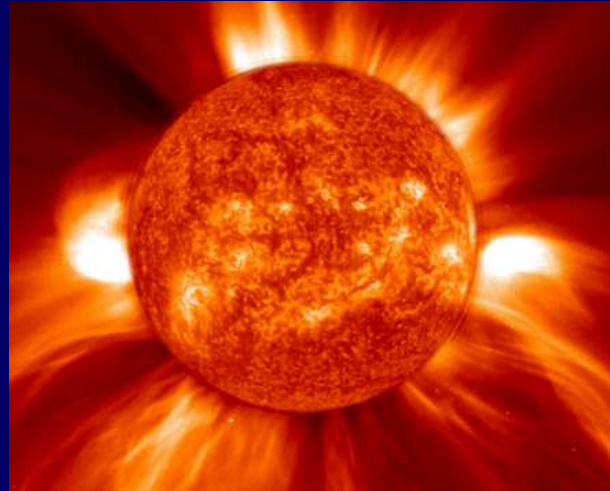
⇒ coefficient de rétrodiffusion





## II.3. Les sources de rayonnement

Sources naturelles :  
télétection passive



Sources artificielles :  
télétection active



## Loi de Planck

$$L(\lambda, T) = \frac{2hc^2}{\lambda^5 \left[ \exp\left(\frac{hc}{k\lambda T}\right) - 1 \right]}$$

$L(\lambda, T)$  = luminance énergétique spectrale (en  $\text{W m}^{-2} \mu\text{m}^{-1} \text{sr}^{-1}$ )

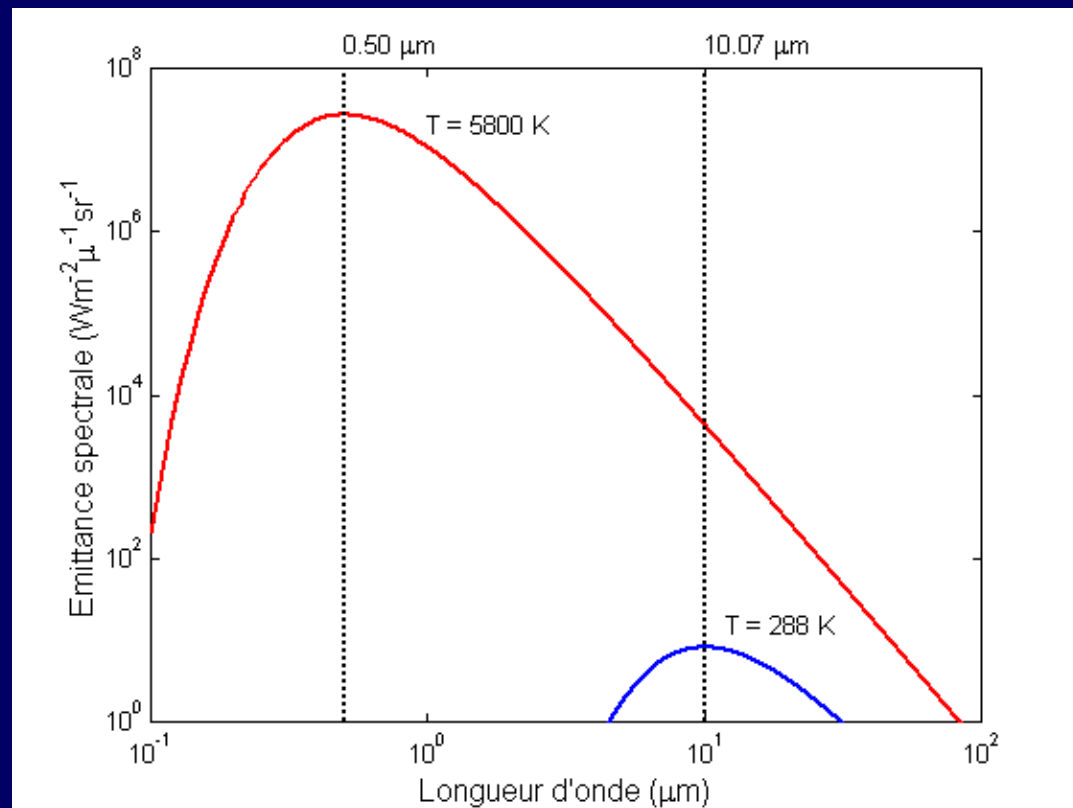
$\lambda$  = longueur d'onde (en m)

$T$  = température absolue (en K)

$h$  = constante de Planck ( $6,625 \times 10^{-34} \text{ W s}^2$ )

$c$  = vitesse de la lumière dans le vide ( $2,998 \times 10^8 \text{ m s}^{-1}$ )

$k$  = constante de Boltzmann ( $1,38 \times 10^{-23} \text{ J K}^{-1}$ )



⇒ Loi du déplacement de Wien

$$\lambda_{\max} \times T = cte$$

⇒ Loi de Stefan-Boltzman

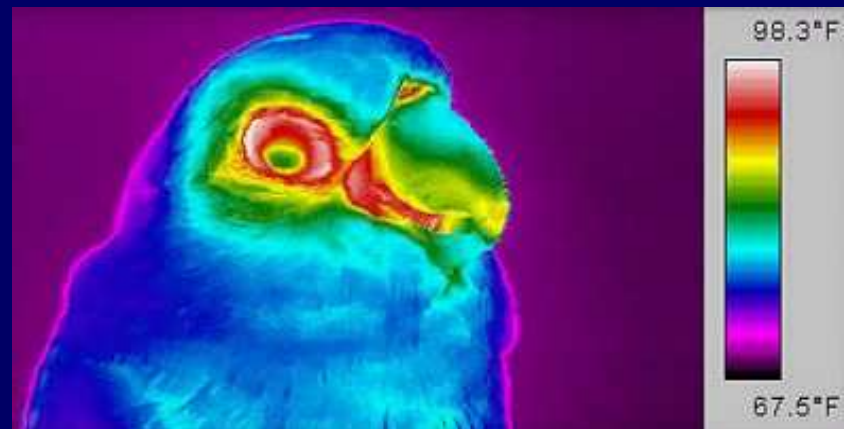
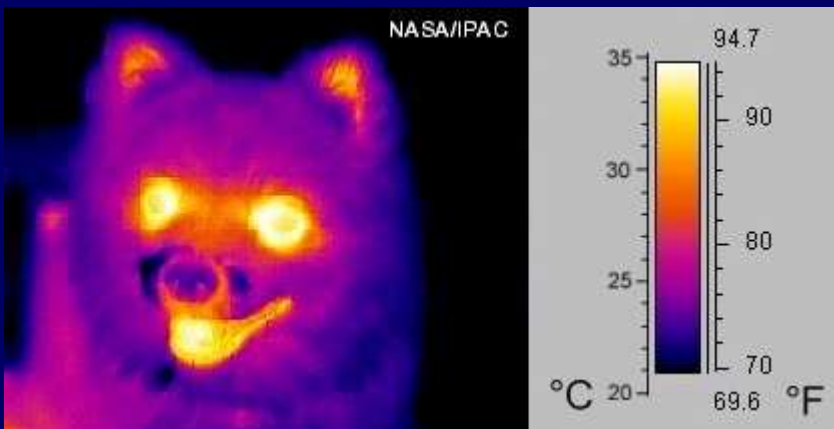
$$M(T) = \sigma T^4$$



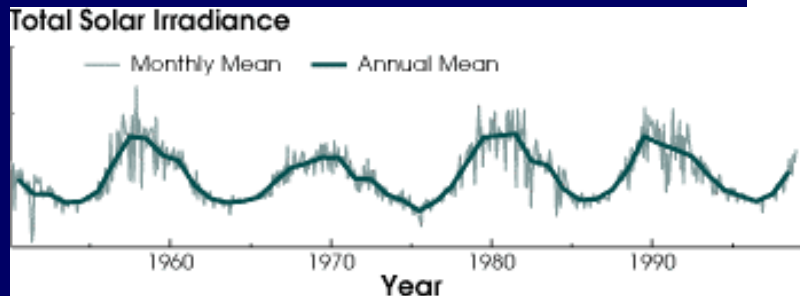
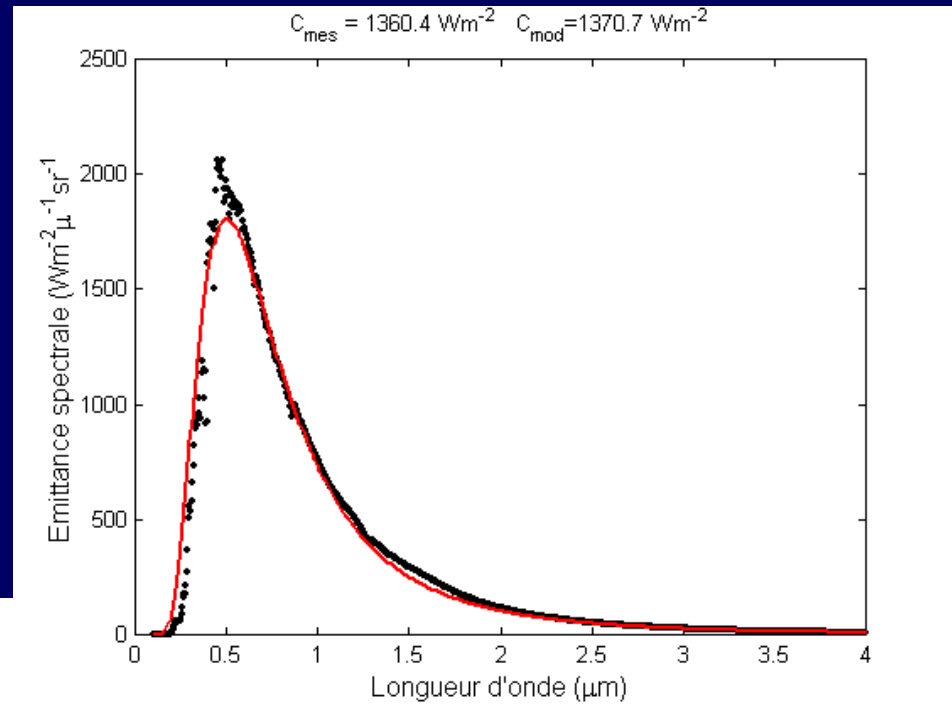
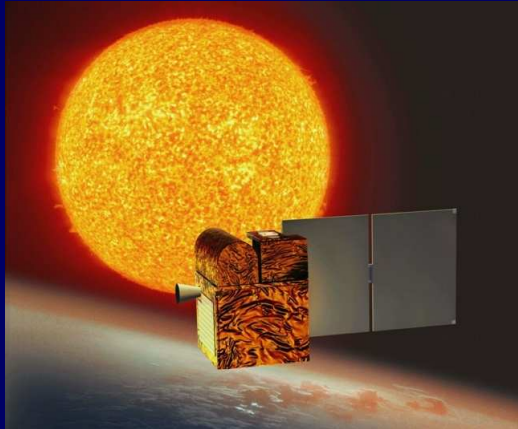
Torche oxyacétylène : 3200 K



Lave en fusion : 1000 K



## II.4. La constante solaire



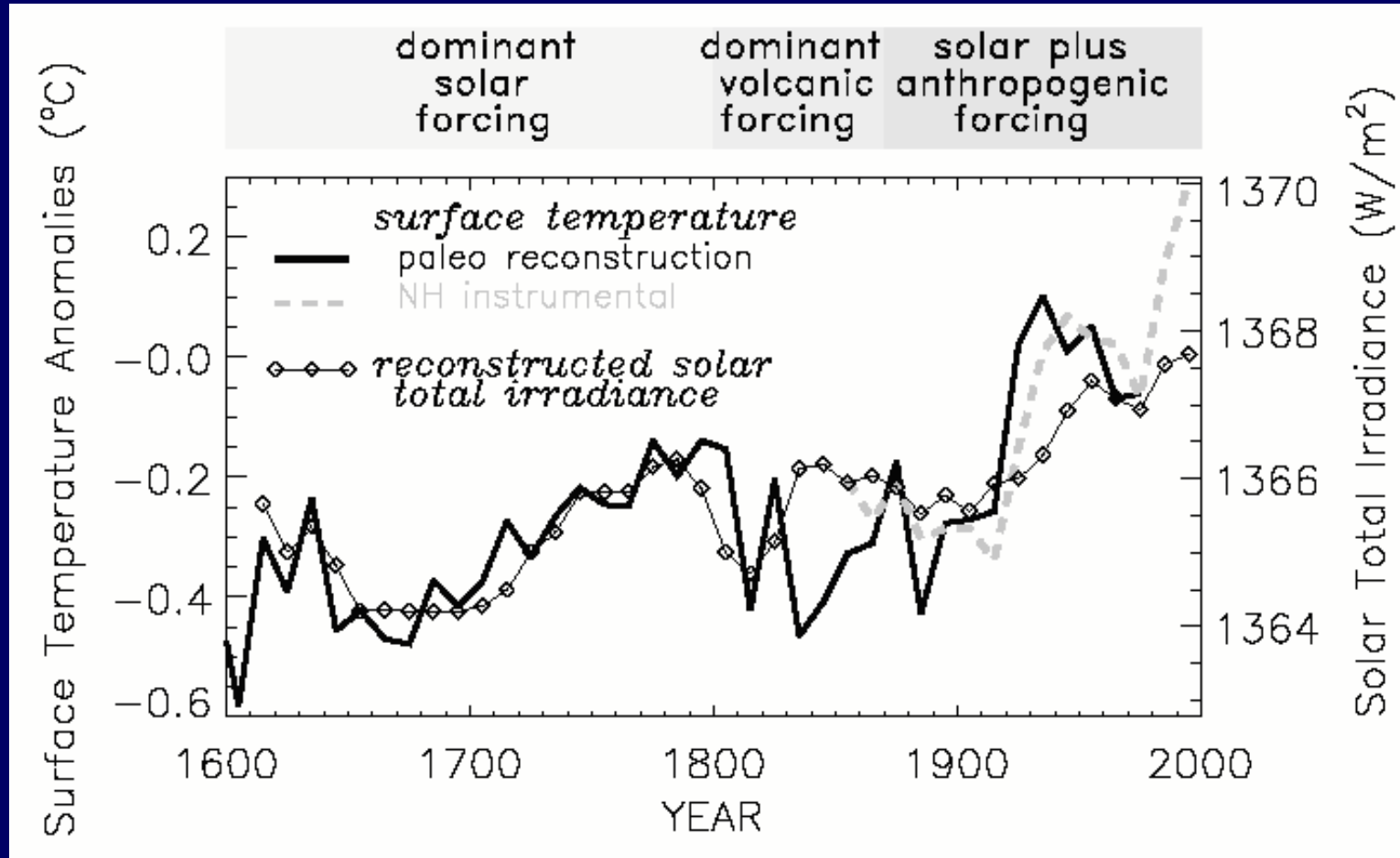
$$C_0 = \sigma T_s^4 \frac{\alpha^2}{4}$$

$C_0$  = constante solaire (en  $\text{W m}^{-2}$ )

$\sigma$  = constante de Stefan-Boltzmann ( $5,67 \times 10^{-8} \text{ W m}^{-2} \text{ K}^{-4}$ )

$T$  = température absolue (en K)

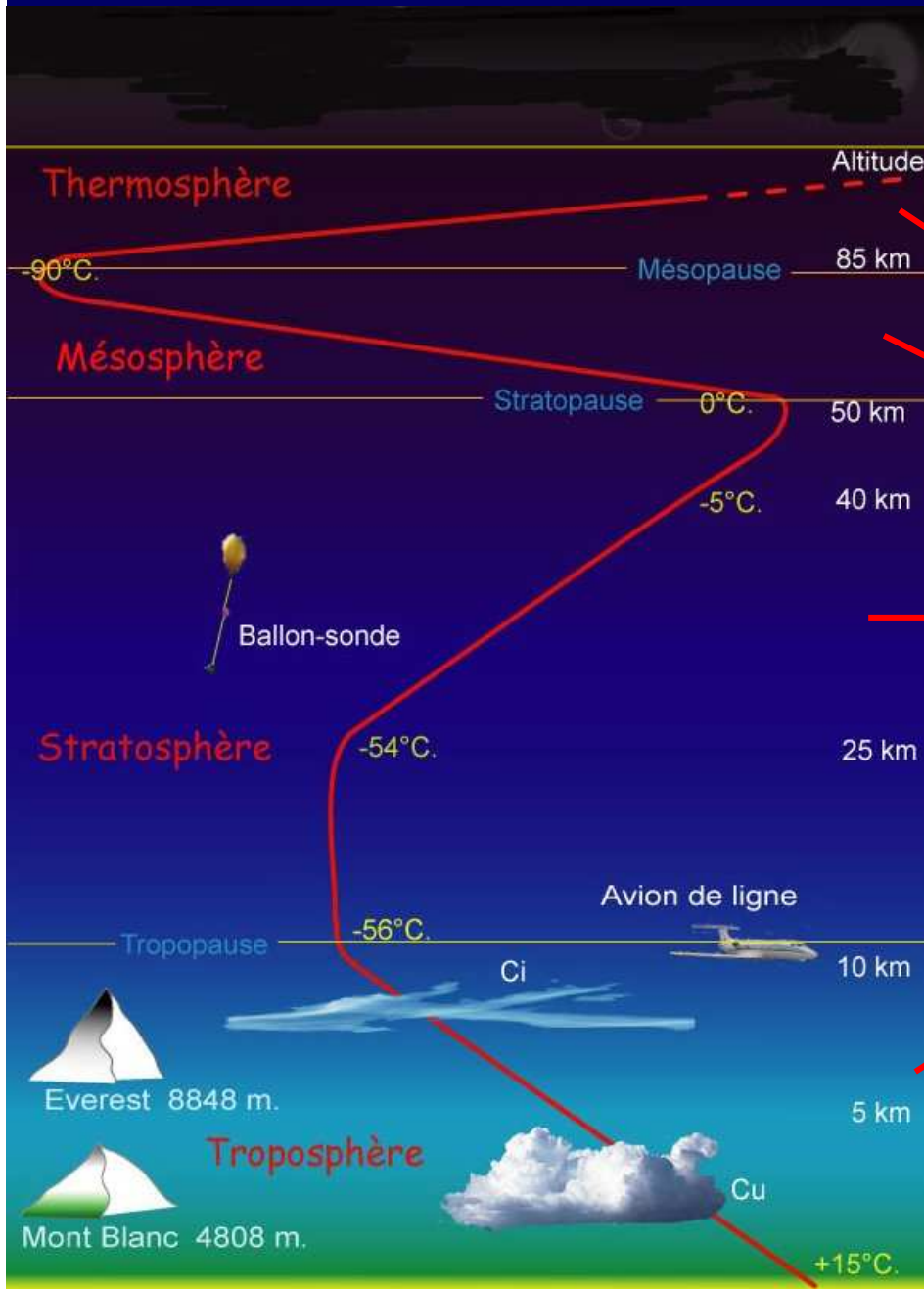
$\alpha$  = diamètre apparent du soleil (en rad)

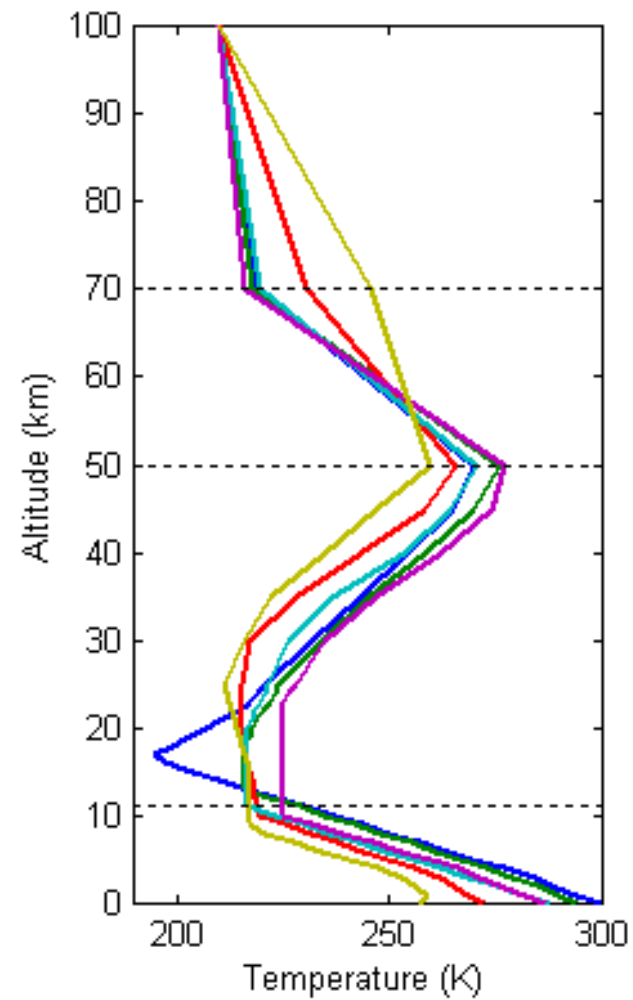
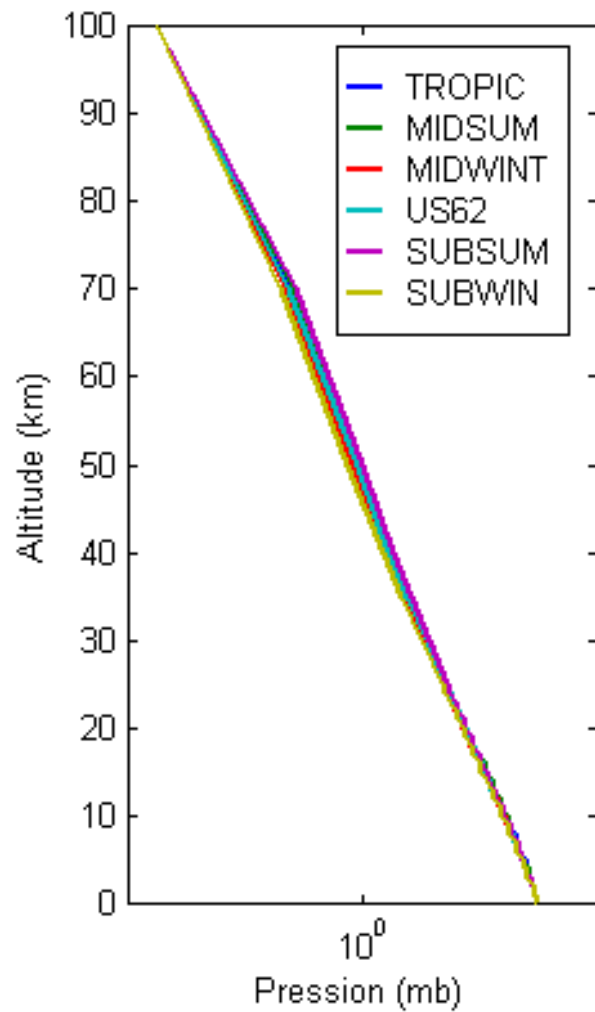


Reconstructed Solar total irradiance from 1610 to 1995 (from Lean et al., 1995). Notice the excellent agreement up to 1920-1975 and the possible anthropogenic contribution afterwards. Volcanic forcing (cooling) can be seen on short periods after the major eruptions: 1815 (Tambora), 1831 (Babuyan), 1835 (Cosiguina) and 1883 (Krakatoa).

### III. Le système Terre-atmosphère

# III.1. L'atmosphère terrestre





**thermosphère**

**mésosphère**

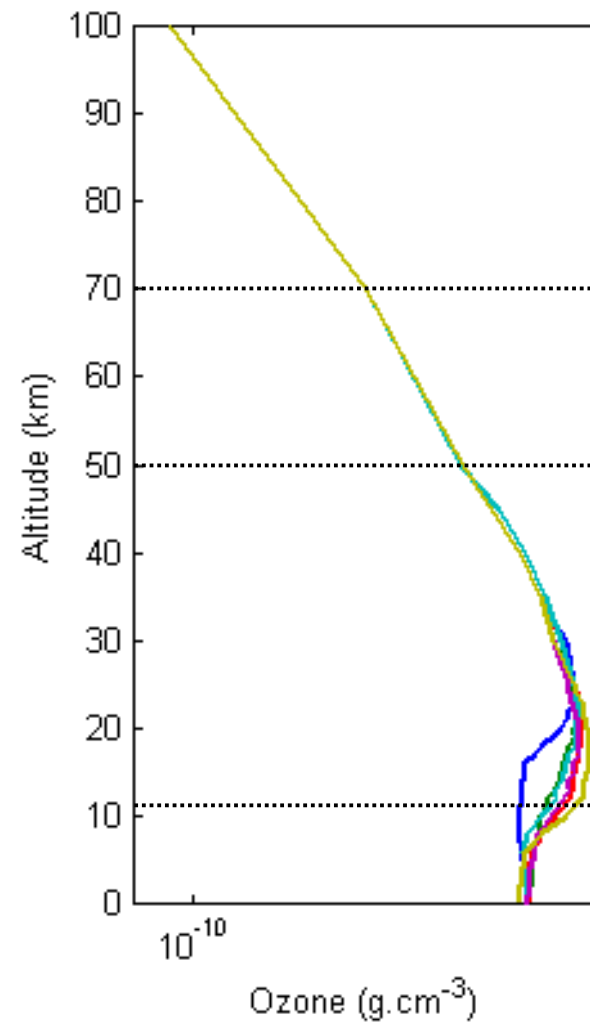
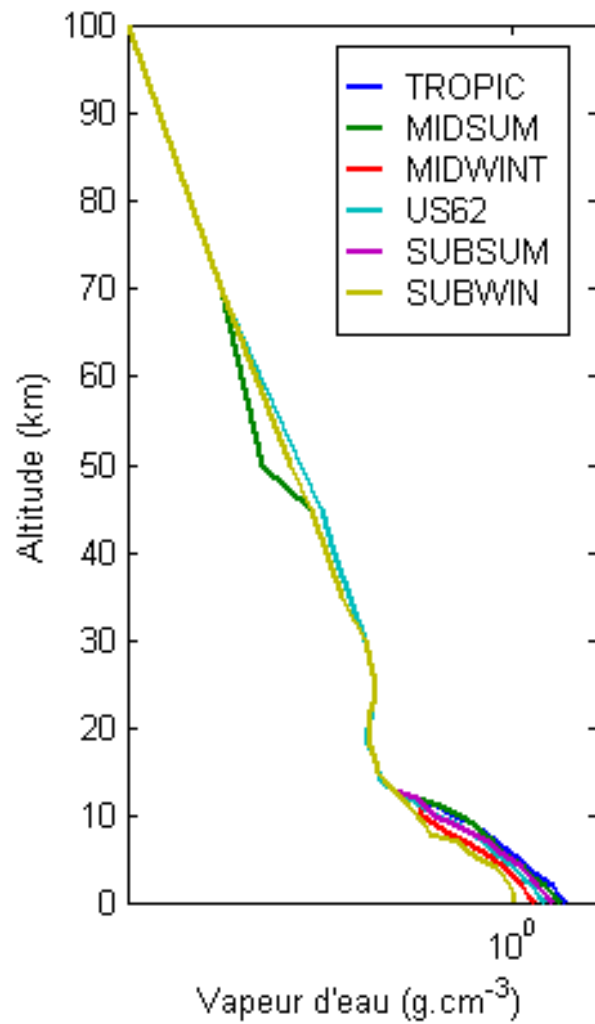
**stratosphère**

**troposphère**

## Composition gazeuse

	<b>Gaz</b>	<b>% vol.</b>	<b>M (g mol<sup>-1</sup>)</b>
gaz principaux	azote N <sub>2</sub>	78,1	28
	oxygène O <sub>2</sub>	20,1	32
	vapeur d'eau H <sub>2</sub> O	0,1–1,0	18
	argon Ar	0,934	40
	dioxyde de carbone CO <sub>2</sub>	0,035	44
gaz trace	néon Ne	$1,8 \times 10^{-3}$	20
	hélium He	$5,2 \times 10^{-4}$	4
	méthane CH <sub>4</sub>	$1,6 \times 10^{-4}$	16
	krypton Kr	$1,0 \times 10^{-4}$	84
	hydrogène H <sub>2</sub>	$5,0 \times 10^{-5}$	2
	oxyde nitreux N <sub>2</sub> O	$3,0 \times 10^{-5}$	46
	monoxyde de carbone CO	$1,0 \times 10^{-5}$	28
	dioxyde de soufre SO <sub>2</sub>	$< 1,0 \times 10^{-5}$	64
	ozone O <sub>3</sub>	$< 1,0 \times 10^{-5}$	48
	xénon Xe	$9,0 \times 10^{-6}$	131
	air sec	100,00	28.964

H = 1 ; C = 12 ; N = 14 ; O = 16 ; S = 32



**thermosphère**

**mésosphère**

**stratosphère**

**troposphère**



<http://earthobservatory.nasa.gov/Laboratory/>

Différents types d'aérosols



*Soot*

$75\% \text{H}_2\text{SO}_4$



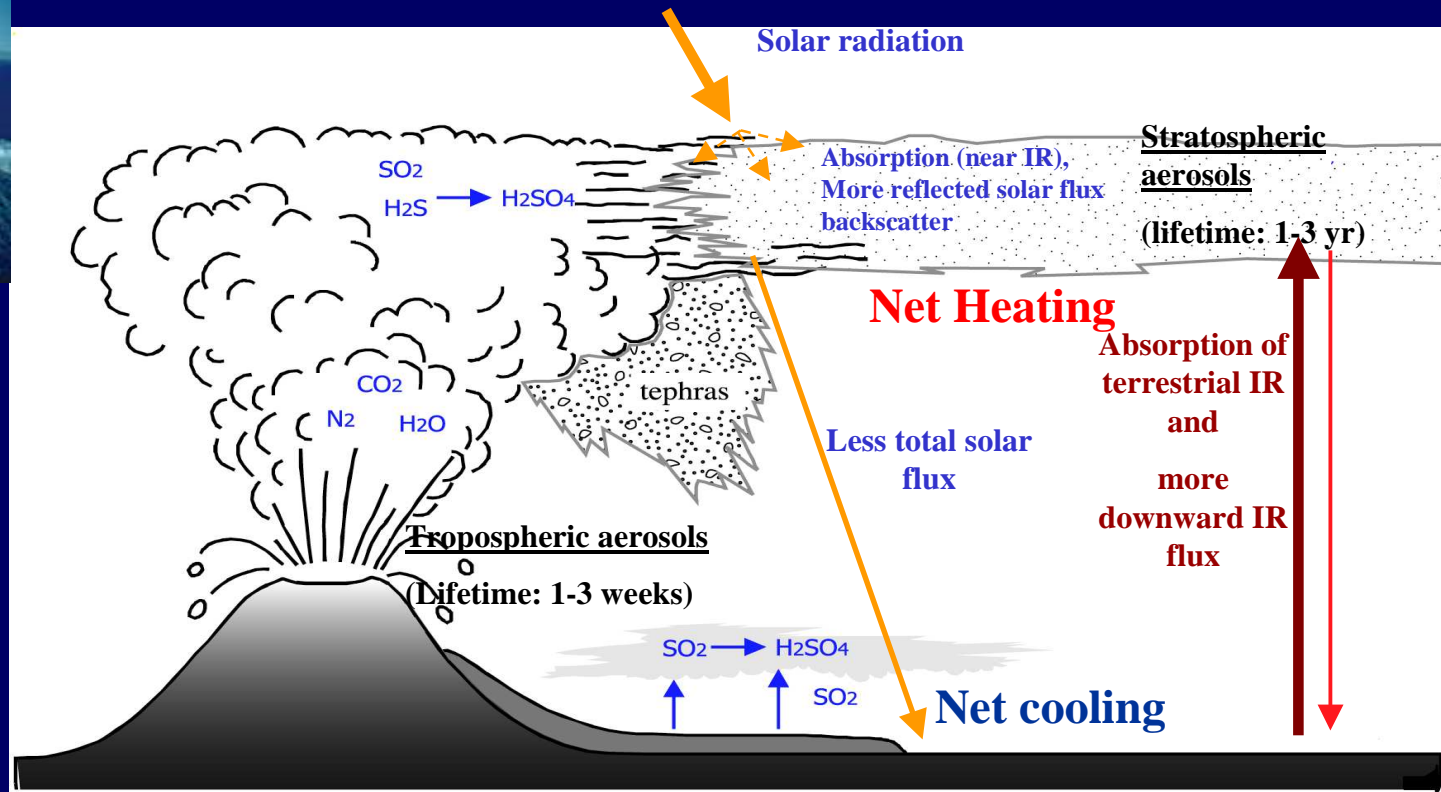
*Water soluble*



*Dust-like*



*Oceanic*



Souvent des nuages

de 0 à 2 km d'altitude



extension verticale



de 2 à 6 km d'altitude



de 5 à 13 km d'altitude



## Nuages + aérosols

© Norman Kuring, SeaWiFS Project, NASA GSFC

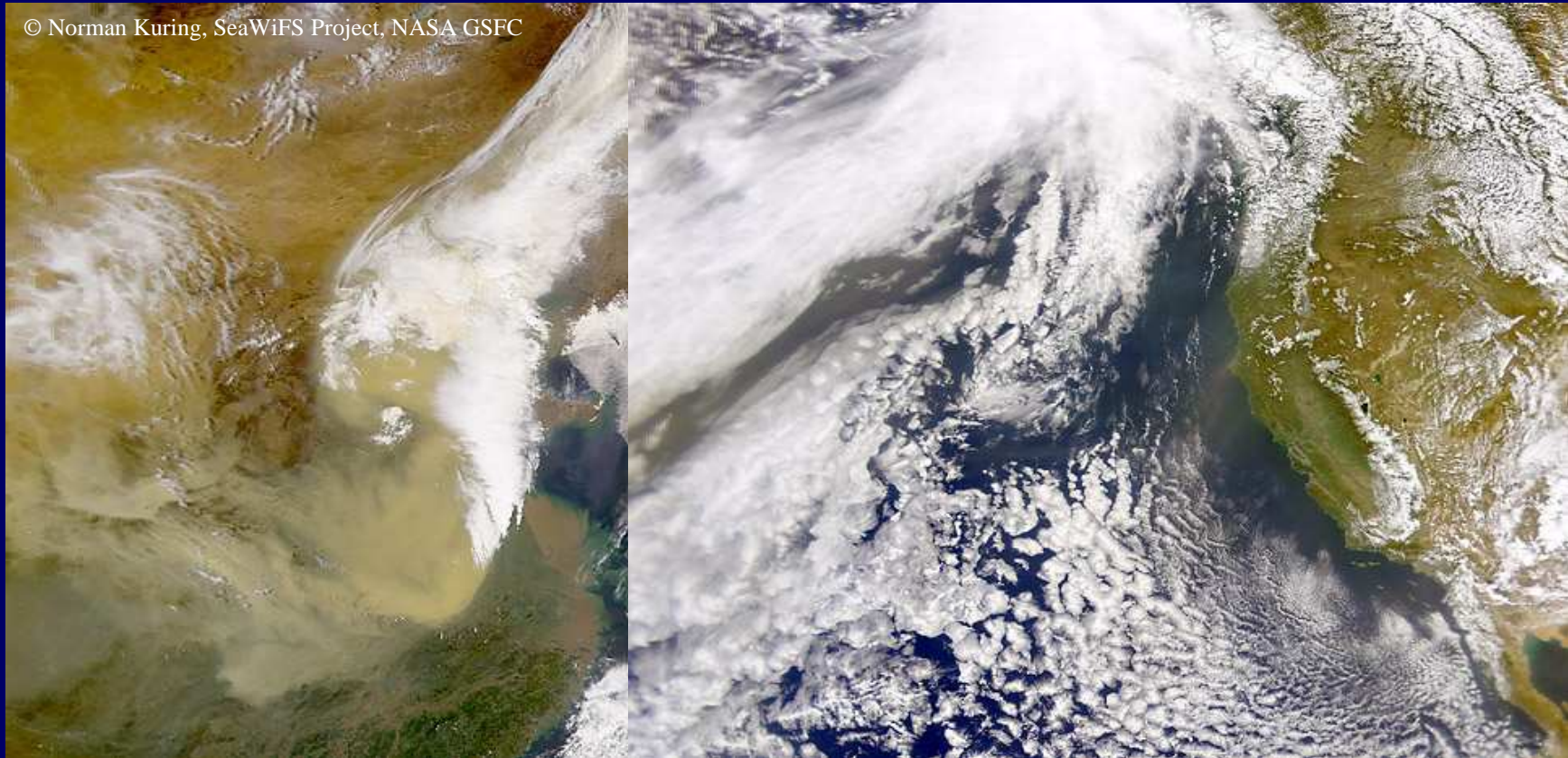
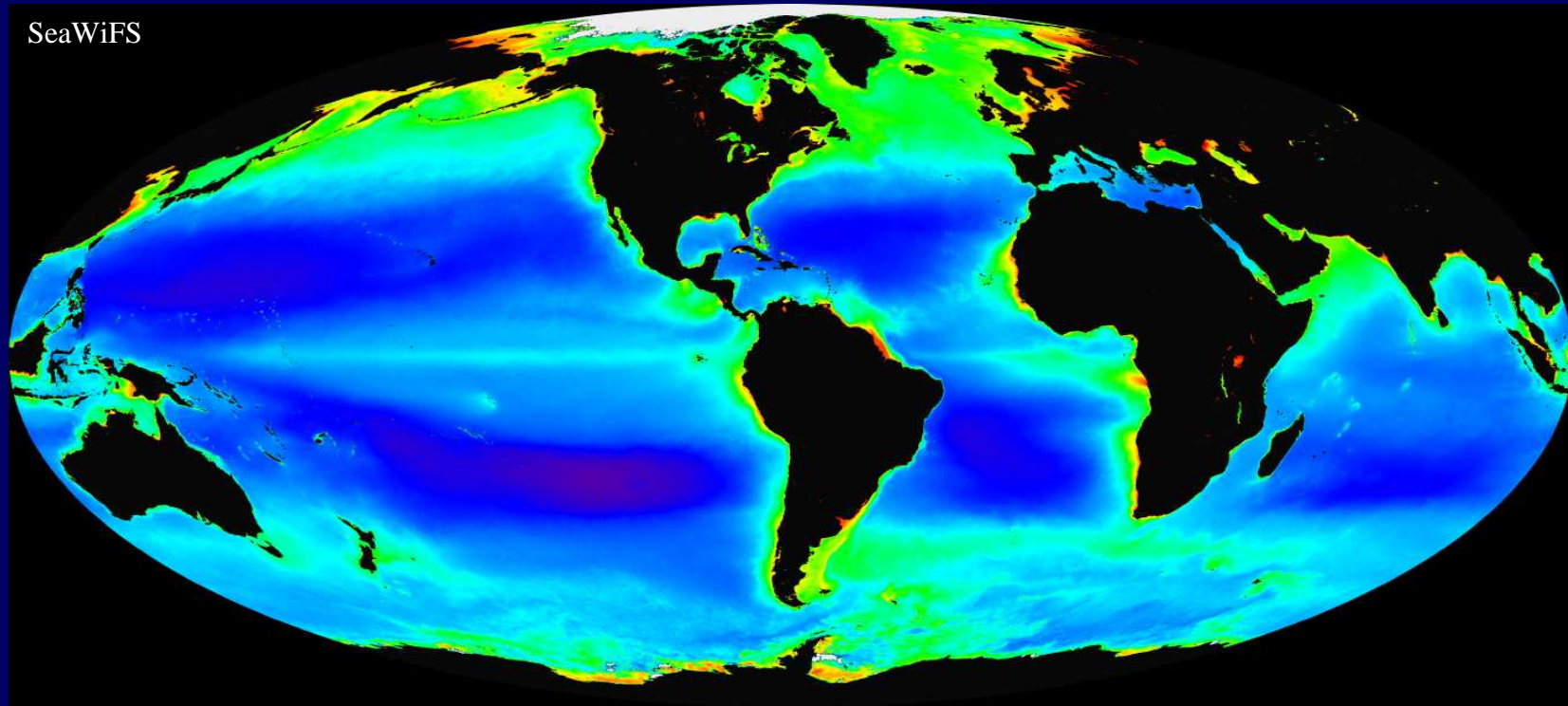


Image du satellite SeaWiFS acquise le 16 avril 1998 montrant le développement d'une large tempête de sable en Chine et ses interactions avec le système météorologique qui transporte la poussière vers l'Océan Pacifique

Image du satellite SeaWiFS acquise le 25 avril 1998 montrant l'arrivée du nuage de poussières sur la côte ouest des Etats Unis

## III.2. Les surfaces terrestres

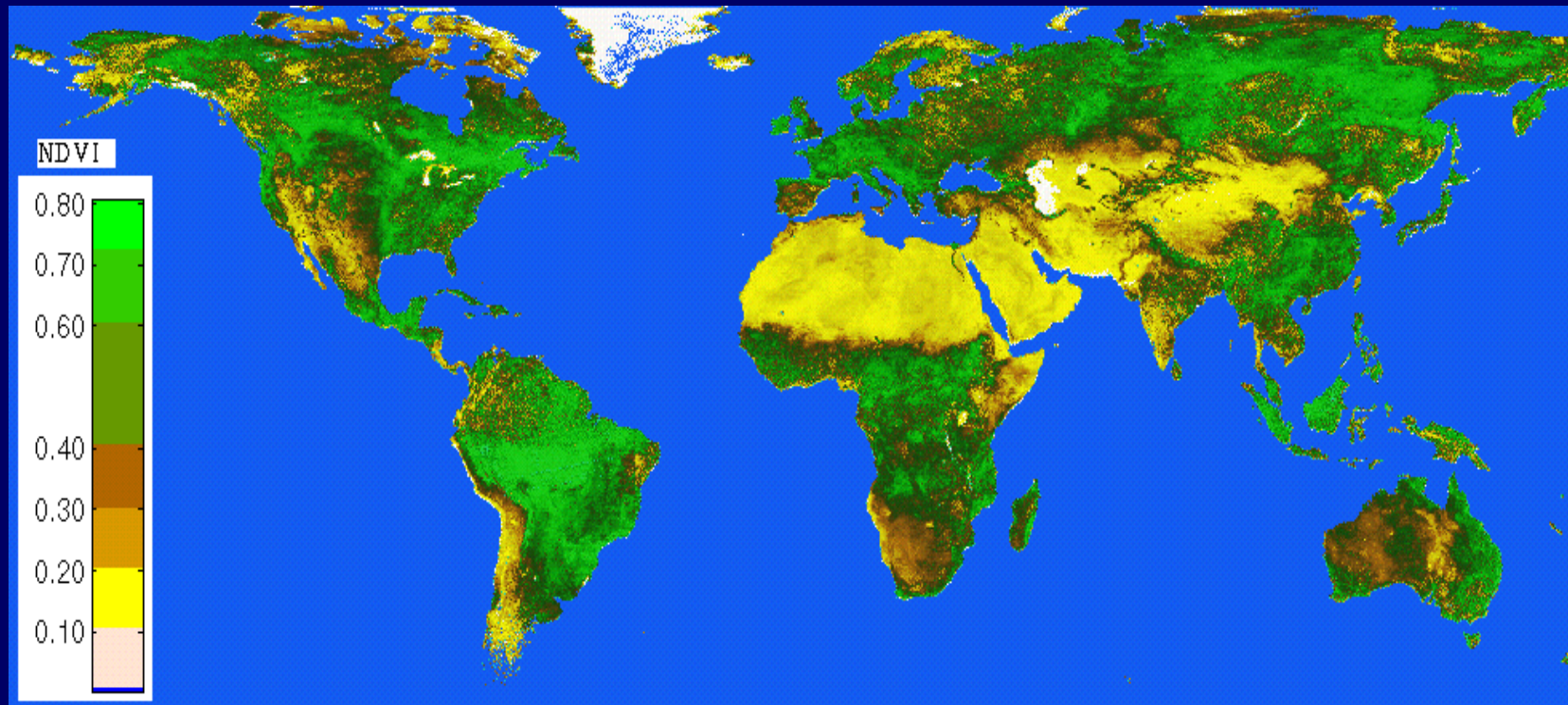
A l'échelle globale, les océans couvrent ~ 70% de la surface de la Terre



Source : Cyril Moulin (LSCE-IPSL)

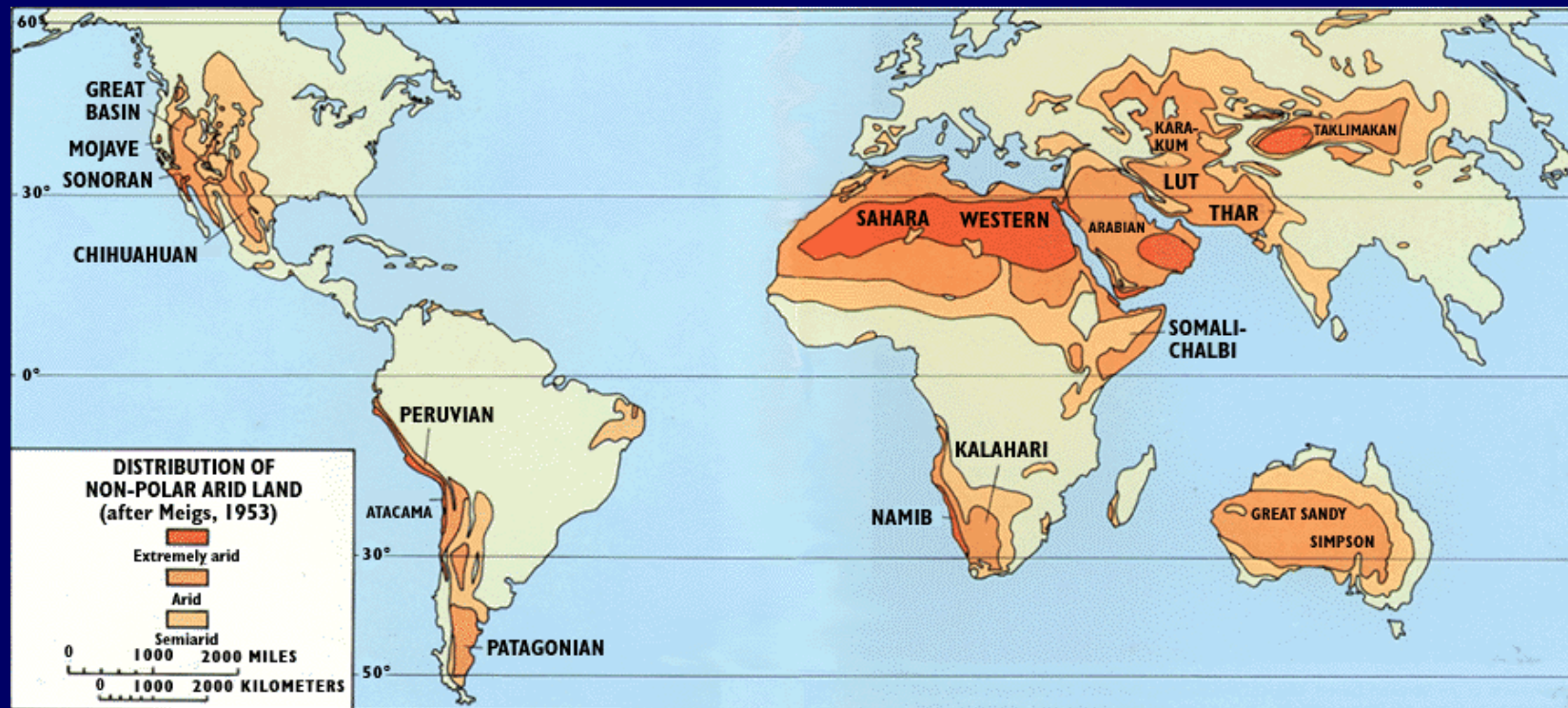
A l'échelle globale, les océans couvrent ~ 70% de la surface de la Terre

A l'échelle globale, les continents couvrent ~ 30% de la surface de la Terre et la végétation couvre ~ 65% des continents (forêts 24%, savane 15%, prairies et toundra 15%, cultures 11%)



A l'échelle globale, les océans couvrent ~ 70% de la surface de la Terre

A l'échelle globale, les continents couvrent ~ 30% de la surface de la Terre et la végétation couvre ~ 65% des continents (forêts 24%, savane 15%, prairies et toundra 15%, cultures 11%)



P. Meigs, 1953, *World distribution of arid and semi-arid homoclimates*. In: *Reviews of research on arid zone hydrology*, pp. 203-209. Paris, United Nations Educational, Scientific, and Cultural Organization, Arid Zone Programme-1.

## IV. Interactions onde / matière

TRAITÉ  
D'OPTIQUE

SUR

LES REFLEXIONS, REFRACTIONS,  
INFLEXIONS, ET LES COULEURS,

DE

LA LUMIERE.

Par Monsieur LE CHEVALIER NEWTON.

*Traduit par M. COSTE, sur la seconde Edition Angloise,  
augmentée par l'Auteur.*

SECONDE EDITION FRANCOISE,  
beaucoup plus correcte que la premiere.



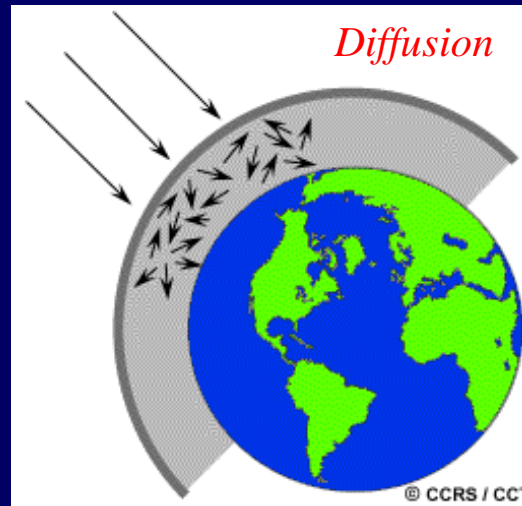
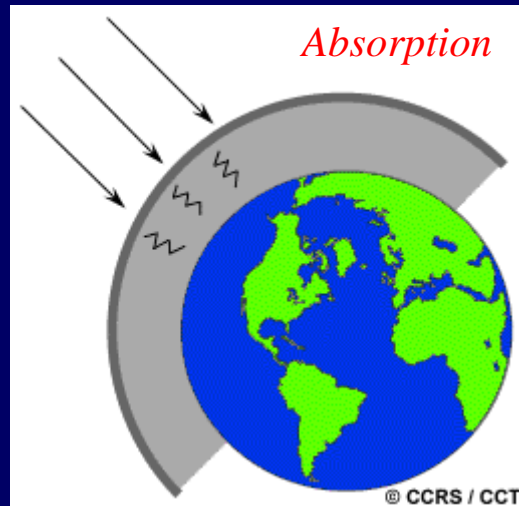
A PARIS,

Chez MONTALANT, Quay des Augustins, du côté  
du Pont saint Michel.

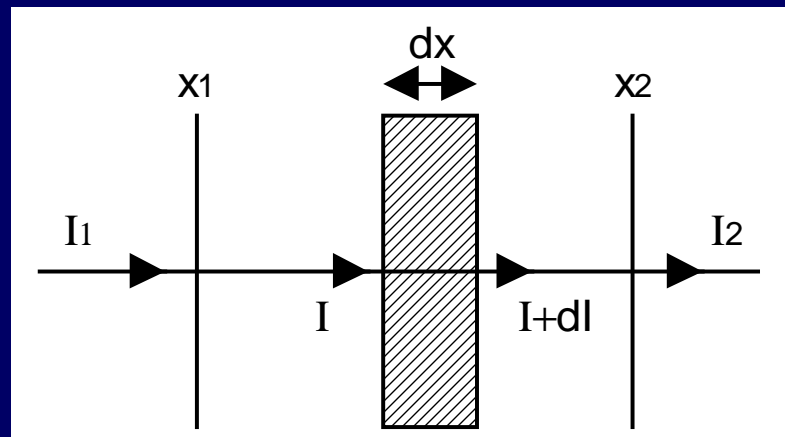
---

M. DCC. XXII.

## Interaction du REM avec un milieu diffusant



extinction = absorption + diffusion



$\sigma_e$  = coefficient d'extinction du milieu (en  $\text{m}^{-1}$ )

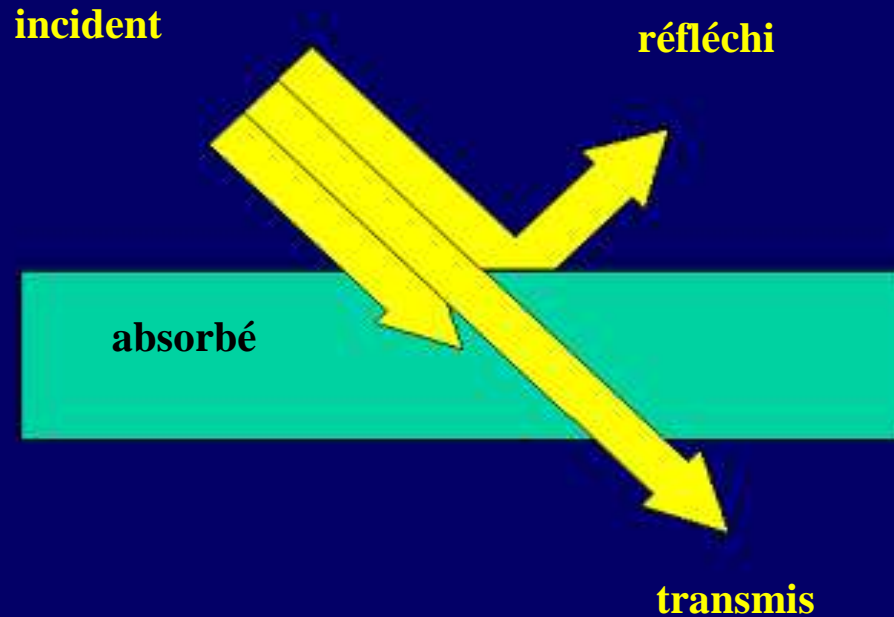
$$dI(\lambda) = -\sigma_e(\lambda, x)I(\lambda)dx$$

$$\Rightarrow I_2(\lambda) = I_1(\lambda) \exp\left(-\int_{x_1}^{x_2} \sigma_e(\lambda, x)dx\right)$$

transmittance du milieu :  $T(\lambda) = \frac{I_2(\lambda)}{I_1(\lambda)}$

épaisseur optique du milieu :  $\tau(\lambda) = -\ln T(\lambda) = -\ln \frac{I_2(\lambda)}{I_1(\lambda)} = \int_{x_1}^{x_2} \sigma_e(\lambda, x)dx$

## Interaction du REM avec un milieu non diffusant



Facteur de réflexion  $\rho$   
ou réflectance

$$R(\lambda) = \frac{E_{\text{réfléchi}}(\lambda)}{E_{\text{incidente}}(\lambda)}$$

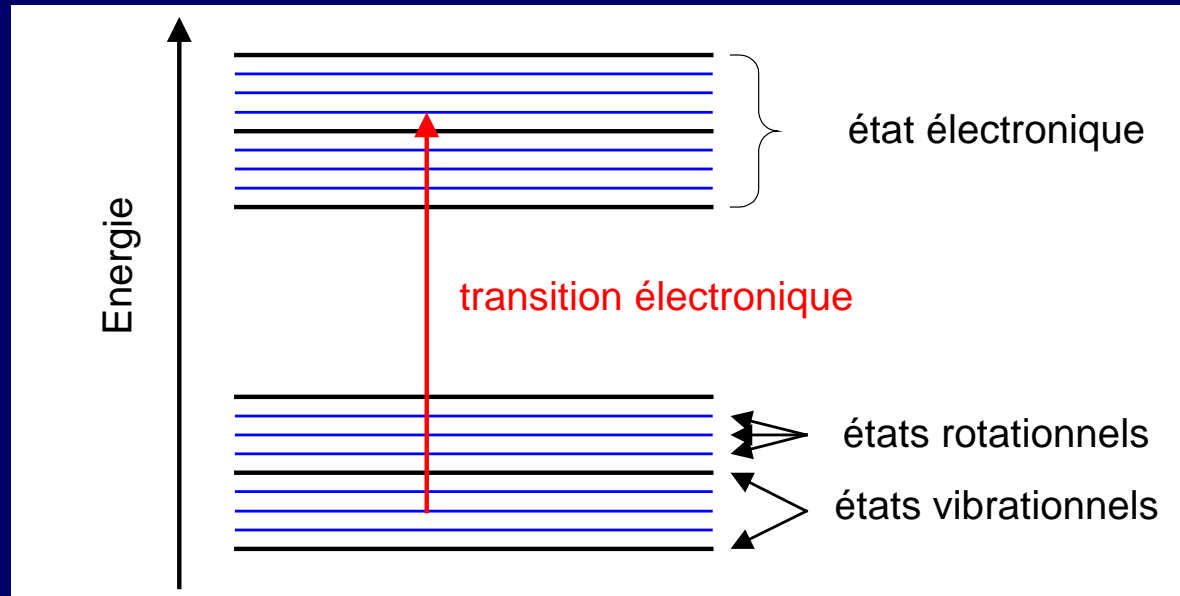
Facteur de transmission  $\tau$   
ou transmittance

$$T(\lambda) = \frac{E_{\text{transmise}}(\lambda)}{E_{\text{incidente}}(\lambda)}$$

Facteur d'absorption  $\alpha$   
ou absorptance

$$A(\lambda) = \frac{E_{\text{absorbée}}(\lambda)}{E_{\text{incidente}}(\lambda)}$$

## IV.1. Absorption du REM



Les molécules possèdent :

- une énergie électronique  $E_e$
- une énergie de vibration  $E_v$
- une énergie de rotation  $E_r$

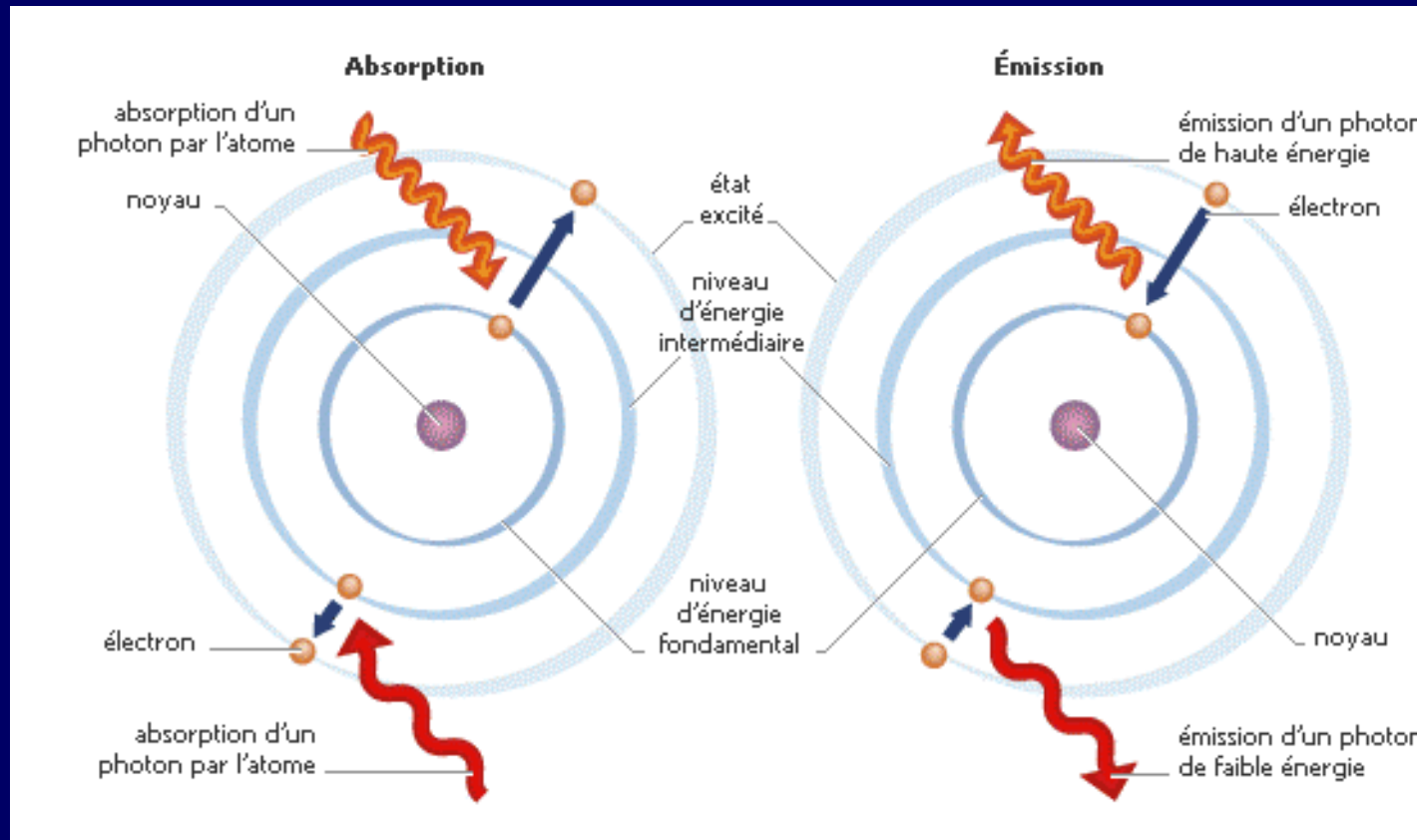
$$E_t = E_e + E_v + E_r$$

$$\Delta E = E_2 - E_1 = h\nu = h \frac{c}{\lambda}$$

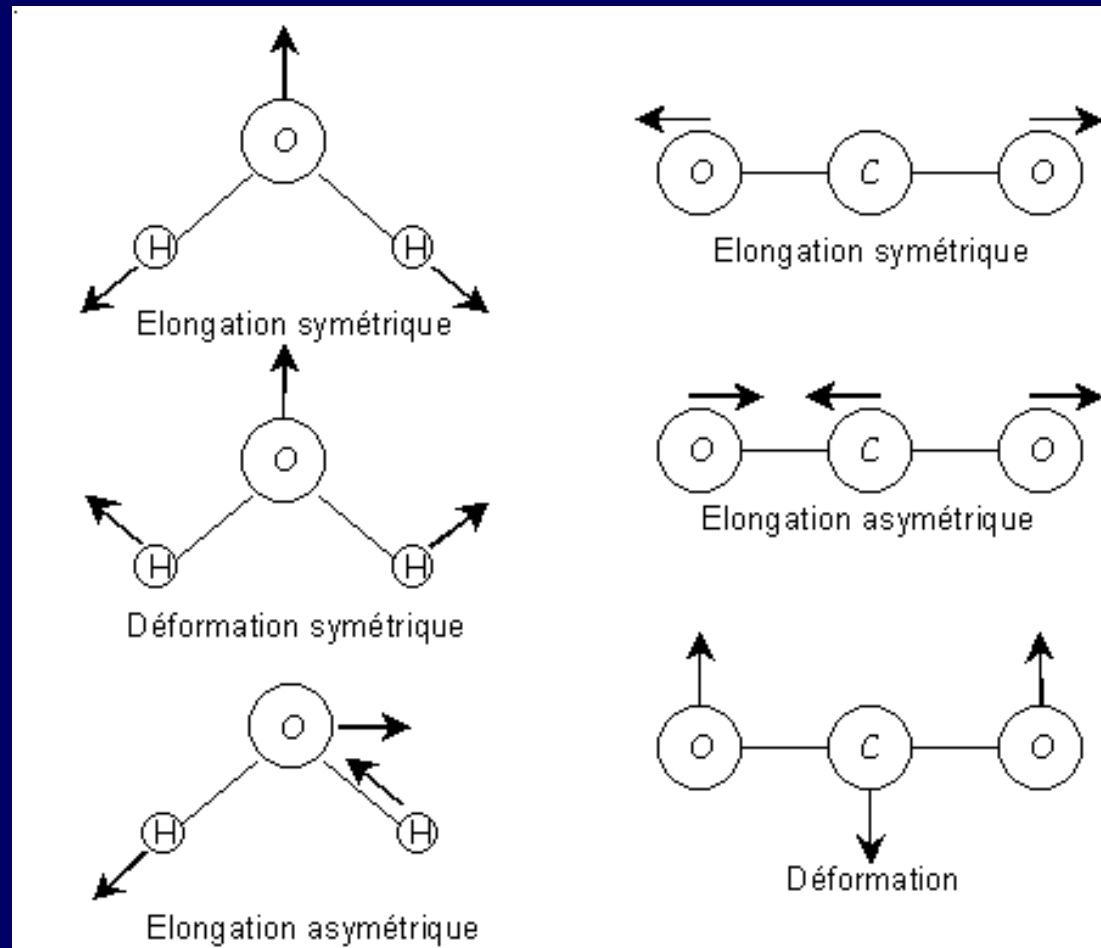
$h$  = constante de Planck  
 $c$  = vitesse de la lumière dans le vide

Transition	$\Delta E$ (eV)	$\nu = \Delta E / h$ (Hz)	$\lambda = c / \nu$	Région spectrale
électronique	10	$2.4 \times 10^{15}$	83,3 nm	ultraviolet et visible
vibrations	$10^{-1}$	$2.4 \times 10^{13}$	8,33 $\mu\text{m}$	infrarouge moyen et thermique
rotations	$10^{-3}$	$2.4 \times 10^{11}$	0,833 mm	micro-ondes

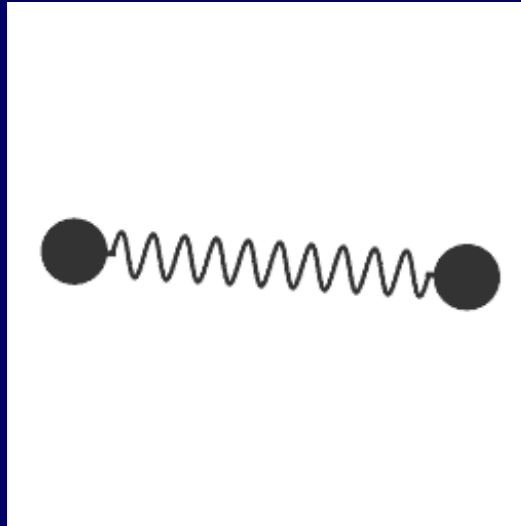
# Energie électronique



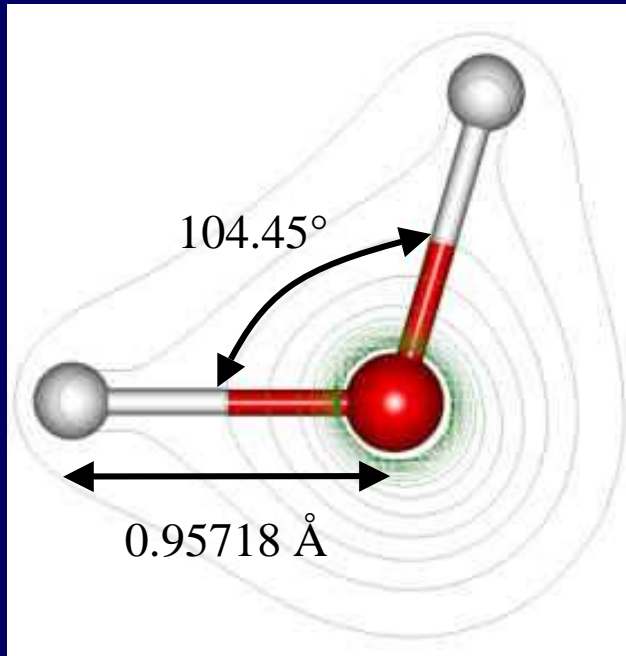
## Energie de vibration



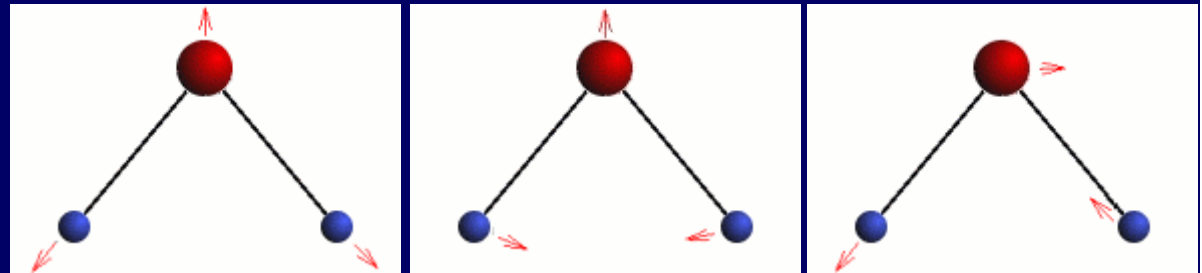
## Energie de rotation



## Exemple : la molécule d'eau



L'eau possède trois degrés de liberté vibrationnels

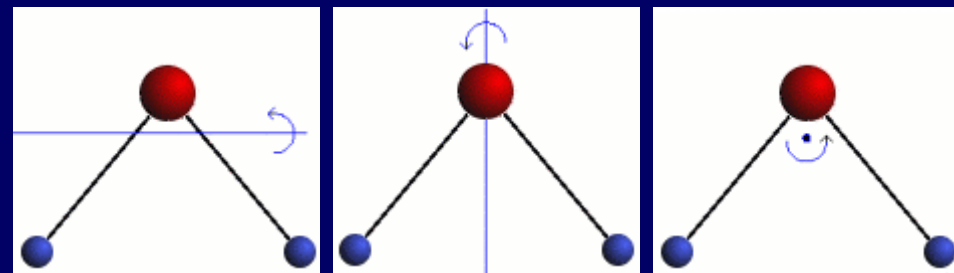


Étirement  
symétrique  $\nu_1$

Pliage  $\nu_2$

Étirement  
asymétrique  $\nu_3$

L'eau possède trois degrés de liberté rotationnels

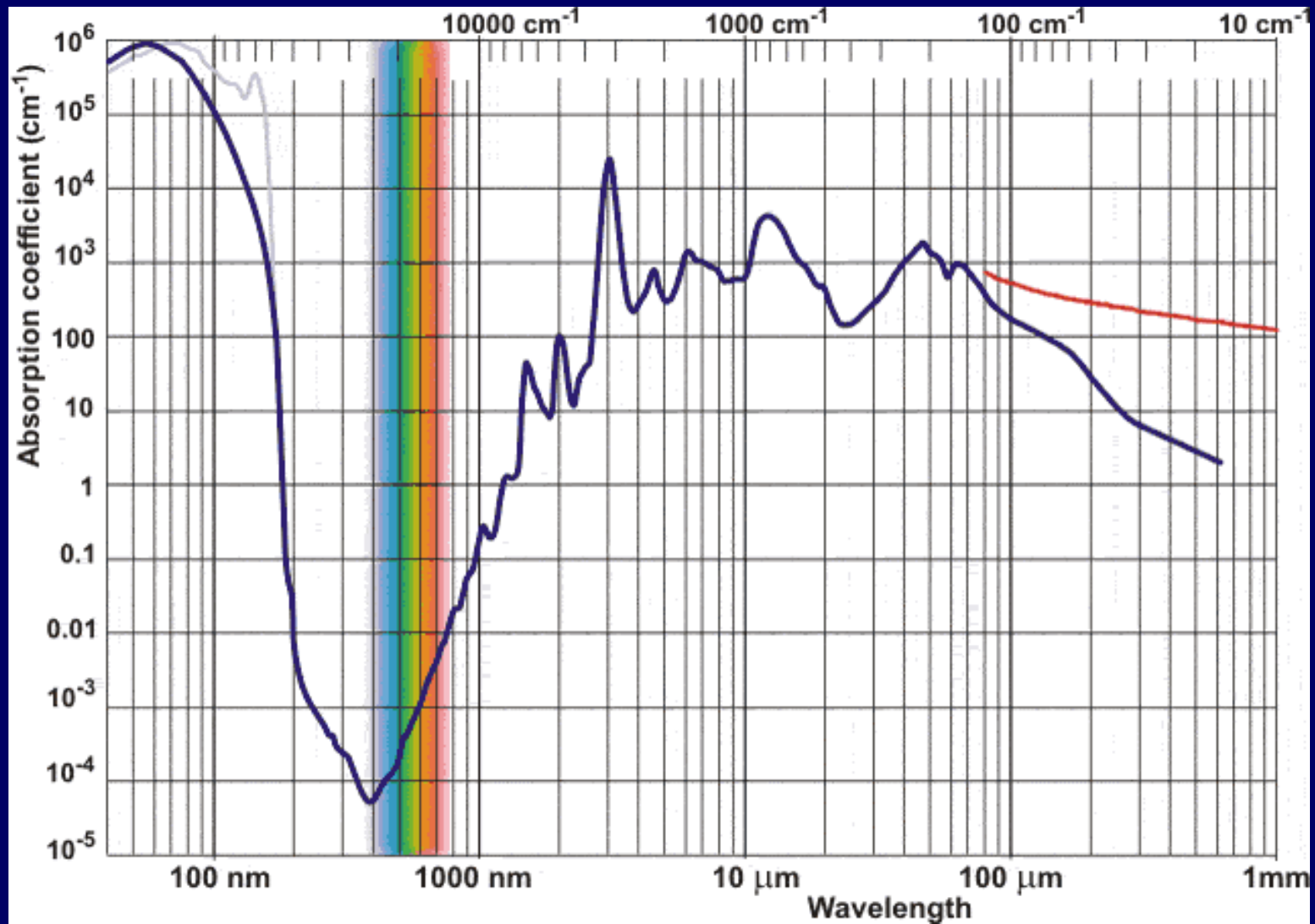


Rotation A

Rotation B

Rotation C

Transition	a+b	Etat liquide	Etat gazeux
a v1 +b v3	a+b=6	0.514 μm	
a v1 +b v3	a+b=5	0.606 μm	
a v1 + v2 + b v3	a+b=4	0.660 μm	
a v1 +b v3	a+b=4	0.739 μm	
a v1 + v2 + b v3	a+b=3	0.836 μm	
a v1 +b v3	a+b=3	0.970 μm	1.004 μm
a v1 + v2 + b v3	a+b=2	1.200 μm	1.272 μm
a v1 +b v3	a+b=2	1.470 μm	1.536 μm
a v1 + v2 + b v3	a+b=1	1.940 μm	1.990 μm
v3 étirement asymétrique		2.870 μm	2.900 μm
v1 étirement symétrique		3.050 μm	
v2 liaison		6.080 μm	6.270 μm
L2 rotations		15.000 μm	
L1 rotations		25.000 μm	



## Absorption par les gaz

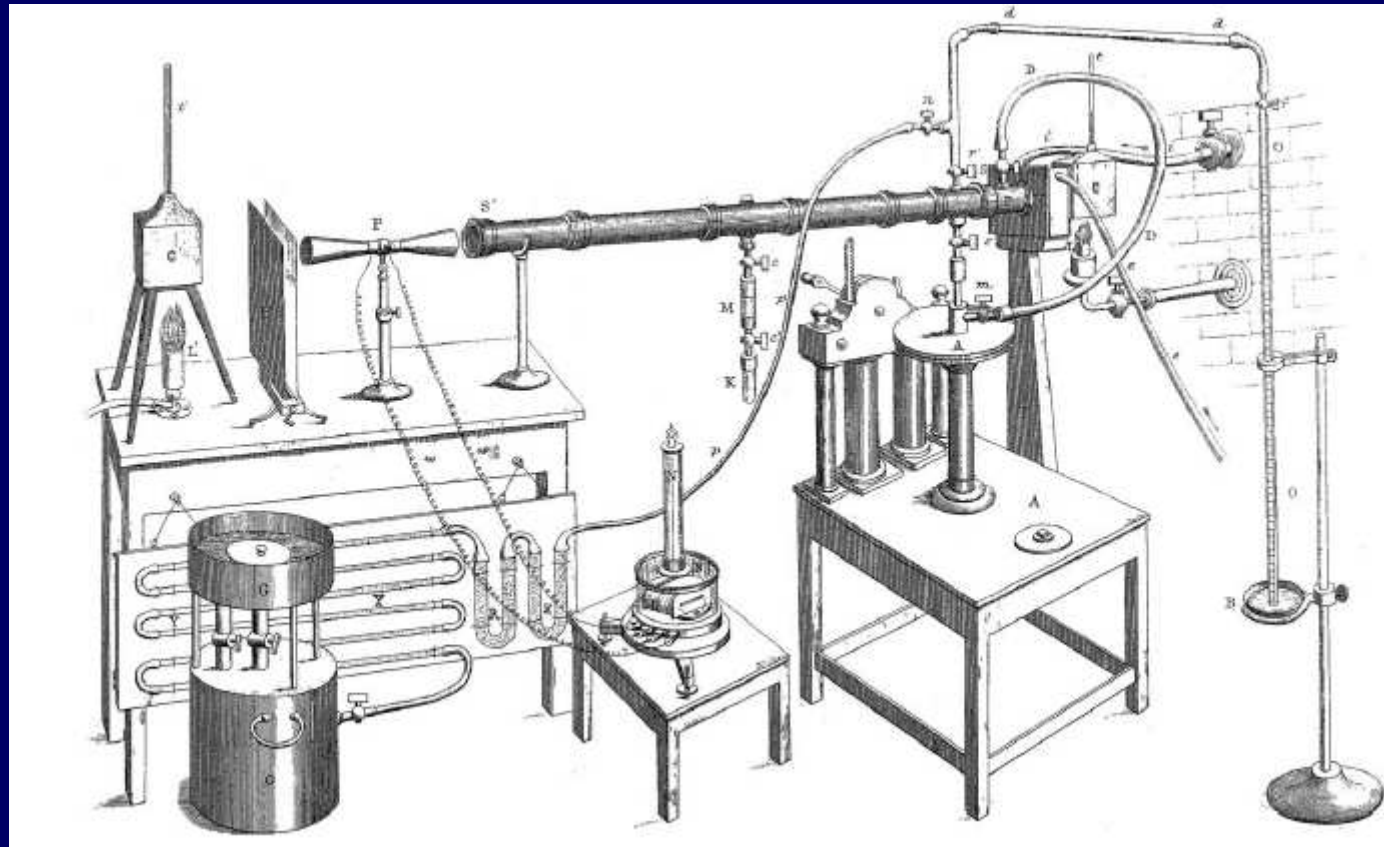
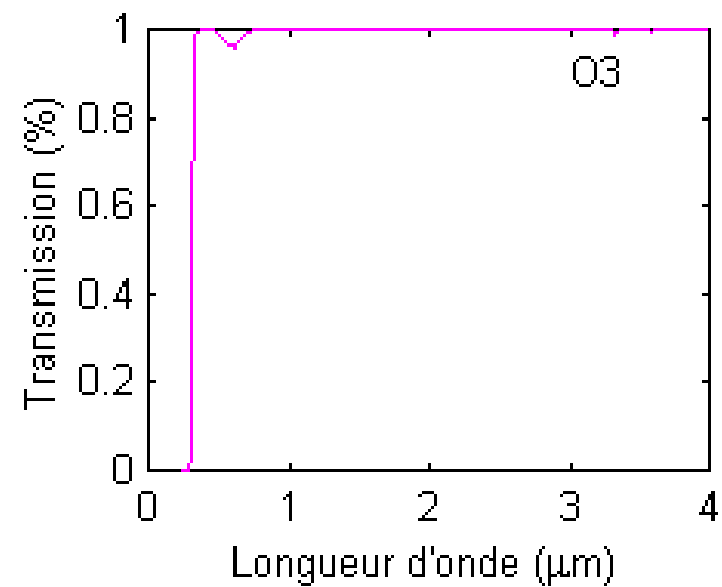
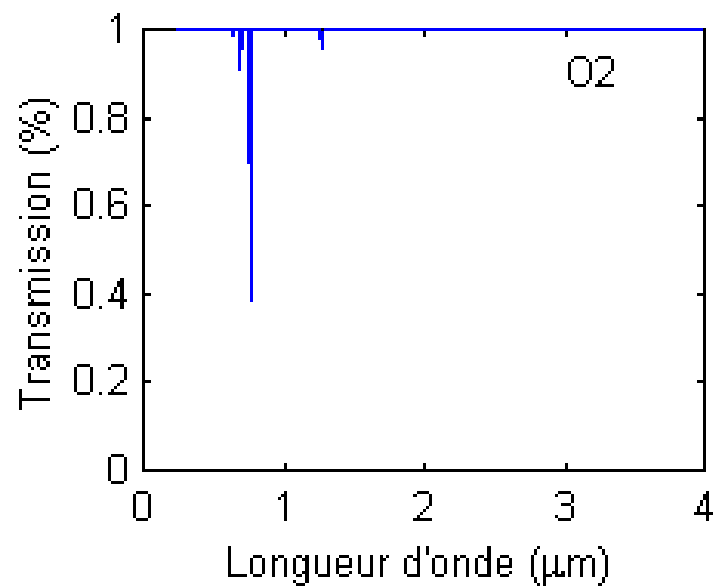
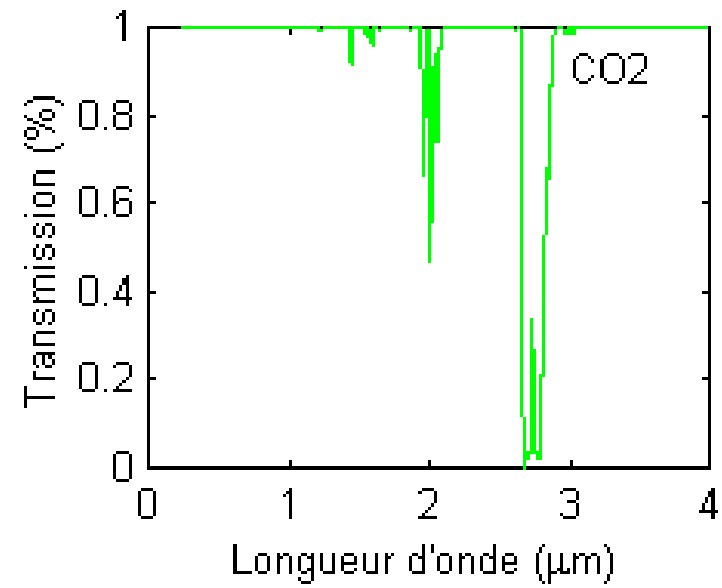
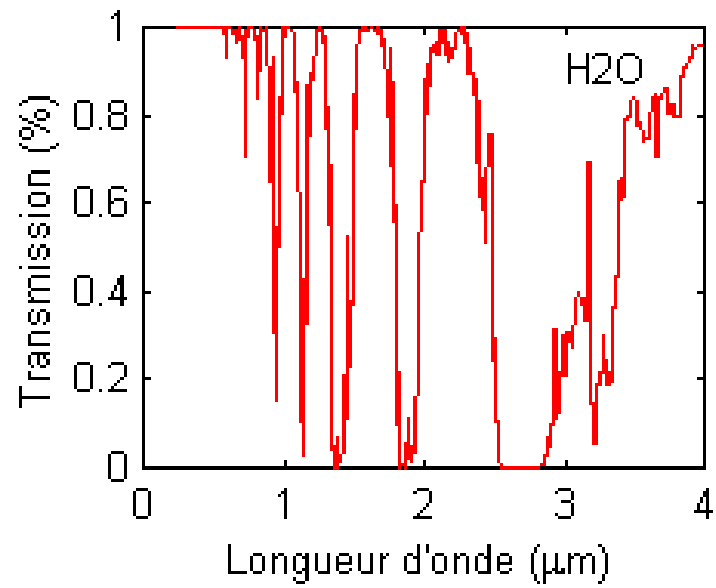
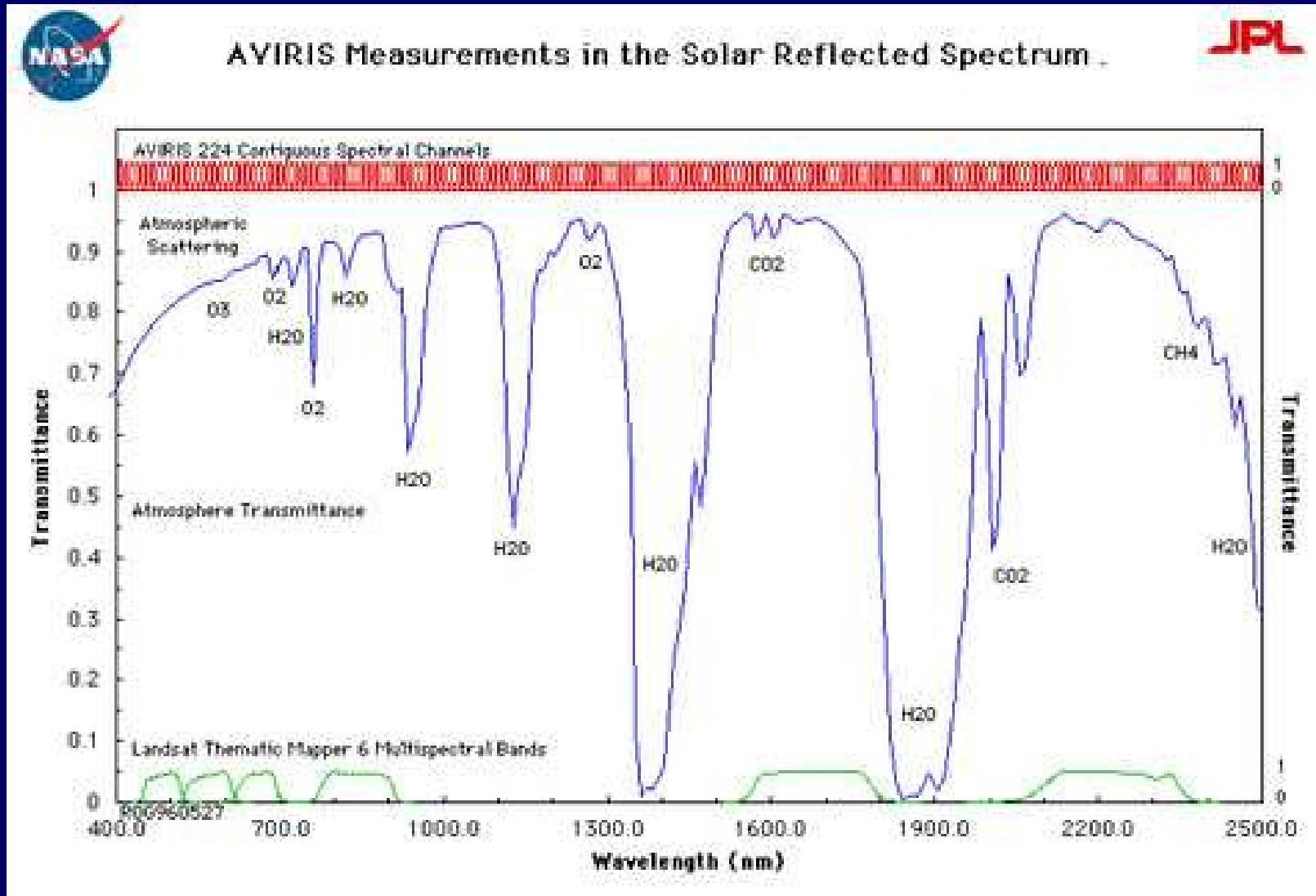


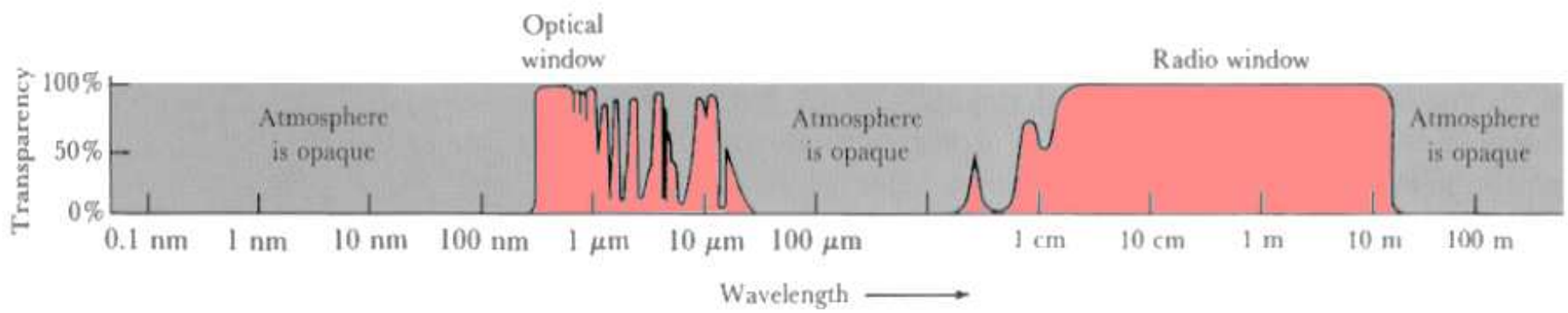
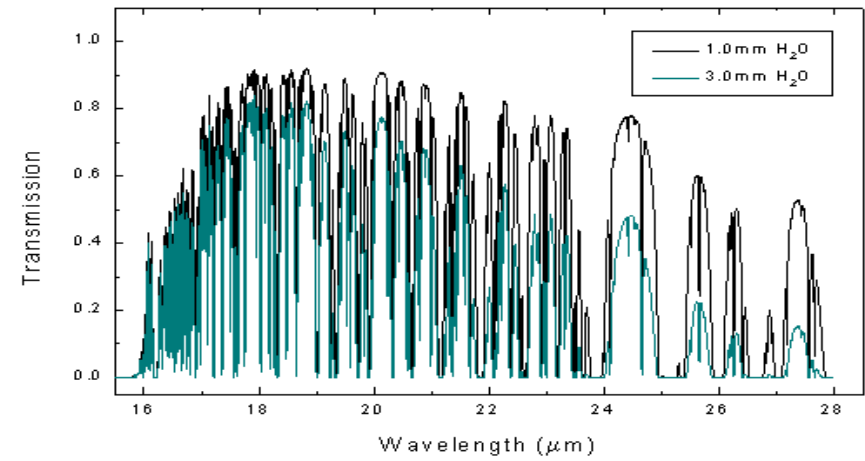
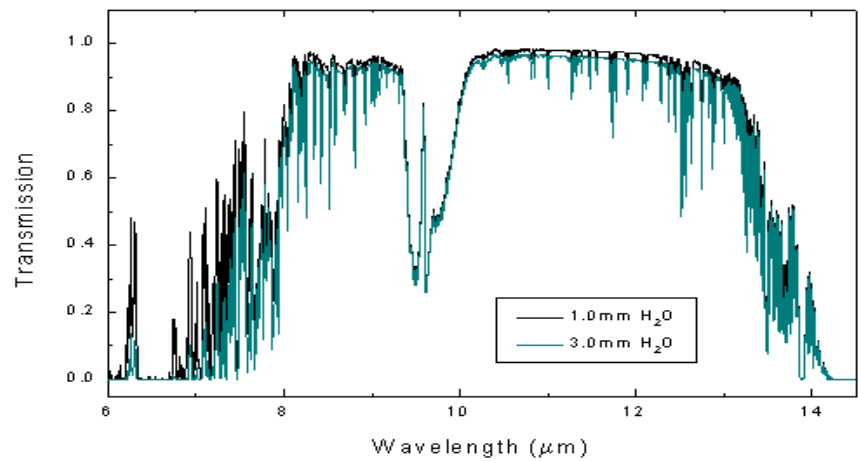
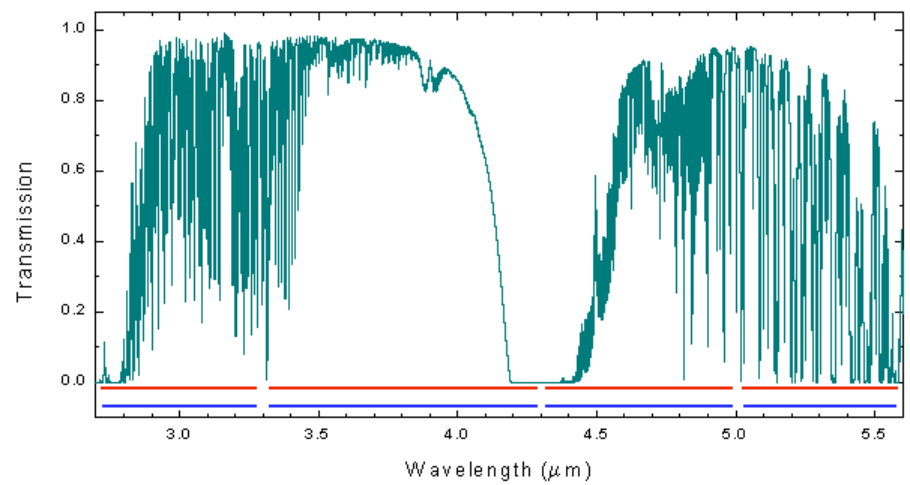
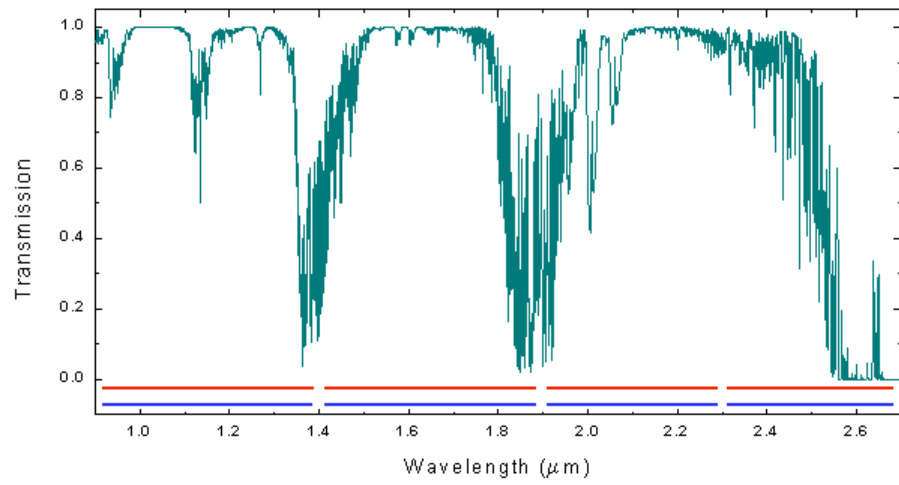
Fig. 8. Spectrophotomètre de John Tyndall [47]. L'appareil est constitué d'un long tube de cuivre pouvant être rempli de différents gaz. Les deux extrémités sont obturées par des tranches de sel gemme, matériau relativement transparent au rayonnement infrarouge. Un cube d'eau bouillante, servant de source de chaleur, est placé à l'avant du tube. Le rayonnement incident interagit avec la colonne de gaz, puis entre dans un réflecteur conique conduisant à une pile contenant des couples thermoélectriques Bi-Sb en série. L'émission d'une seconde source de chaleur réchauffe un écran avant d'entrer dans un second cône conduisant à la deuxième face de la thermopile. Celle-ci est connectée à un galvanomètre qui mesure le courant qui dépend de la différence de température des deux faces de la thermopile. Ce montage permet de comparer quantitativement l'intensité des deux rayonnements et de déduire l'effet d'absorption du gaz contenu dans le tube. Le dispositif est particulièrement sensible, car il permet de réaliser une compensation exacte des flux de chaleur incidente en translatant l'écran d'étain placé devant la seconde source de chaleur. Avec cet appareil, Tyndall analyse le pouvoir d'absorption de nombreux composés tels que la vapeur d'eau, le dioxyde de carbone, l'éthylène (*olefiant gas*), le méthane (*marsh gas*), l'oxyde d'éthyle (*sulphuric ether*), le chloroforme, les alcools méthylique et éthylique, les acides formique et acétique, le sulfure d'hydrogène, l'ammoniac, le chlore, le brome, le protoxyde d'azote, les acides sulfurique et bromique, ou encore l'ozone.



## Notion de fenêtre atmosphérique

$$T_{\text{atm}}(\lambda) = T_{\text{H}_2\text{O}}(\lambda) \times T_{\text{CO}_2}(\lambda) \times T_{\text{O}_2}(\lambda) \times T_{\text{O}_3}(\lambda) \times \dots$$





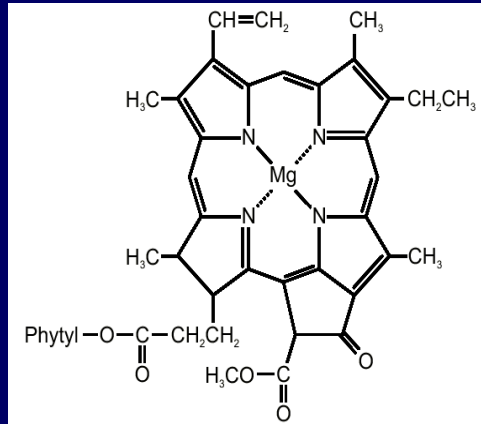
DIXIÈME PROPOSITION:

Problème V.

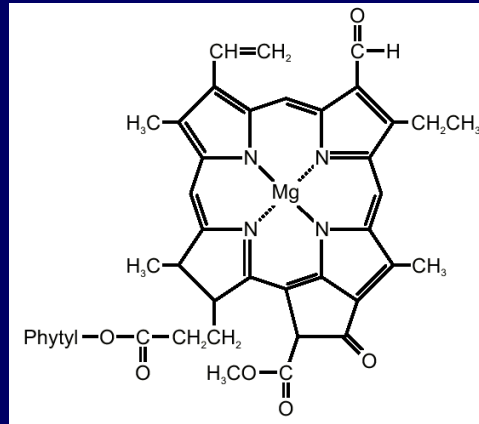
*Par les Propriétés de la Lumière déjà découvertes ,  
expliquer les Couleurs permanentes  
des Corps Naturels.*

**C**es Couleurs proviennent de ce que parmi les Corps Naturels les uns réfléchissent certaines espèces de Rayons, les autres certaines autres espèces, en plus grande abondance qu'ils n'en réfléchissent aucune autre. La Mine de Plomb réfléchit en plus grande abondance les Rayons les moins refrangibles, ou producteurs du Rouge; & par cela même elle paroît rouge. Les *Violettes* réfléchissent en plus grande abondance les Rayons les plus refrangibles; & c'est de-là que vient leur couleur.

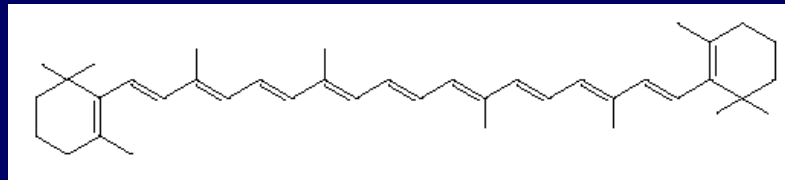
# Propriétés optiques des surfaces terrestres : les pigments



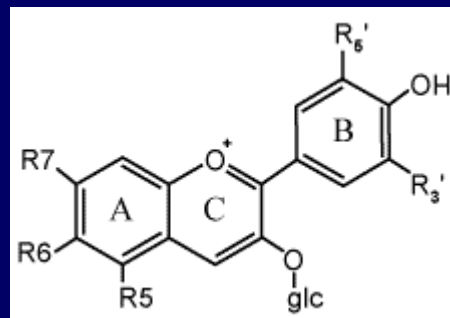
chlorophylle *a*



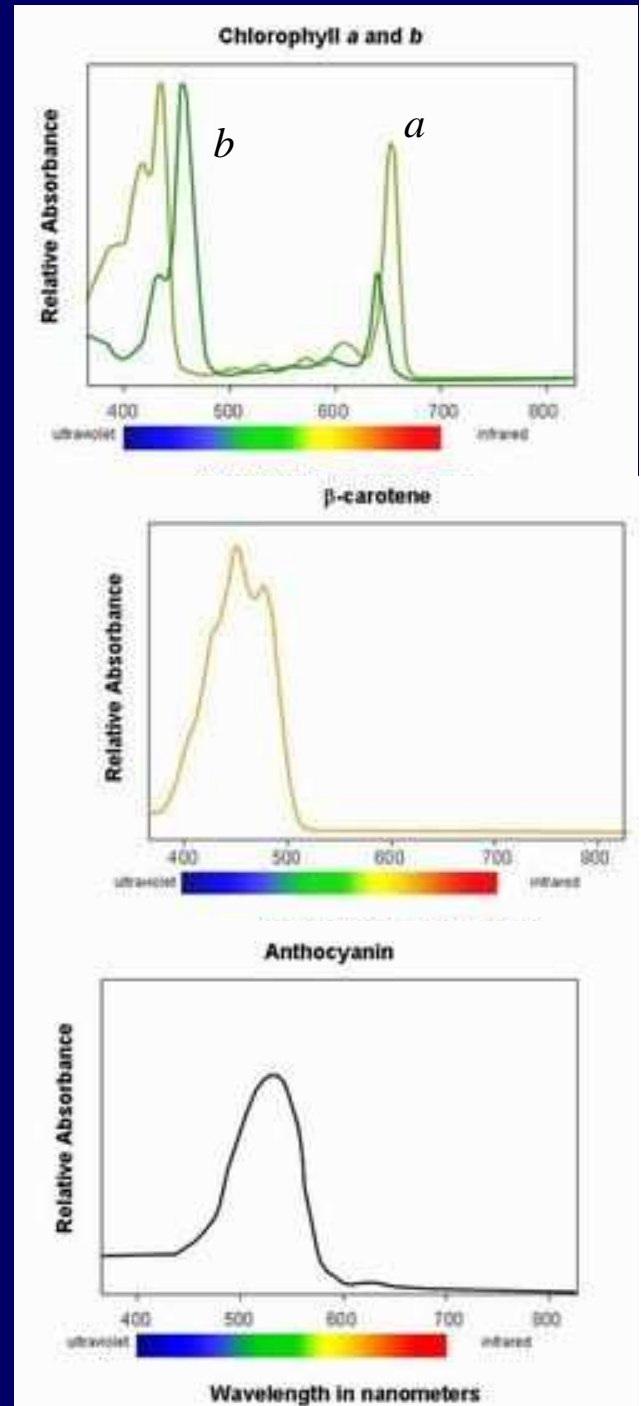
chlorophylle *b*



β-carotène

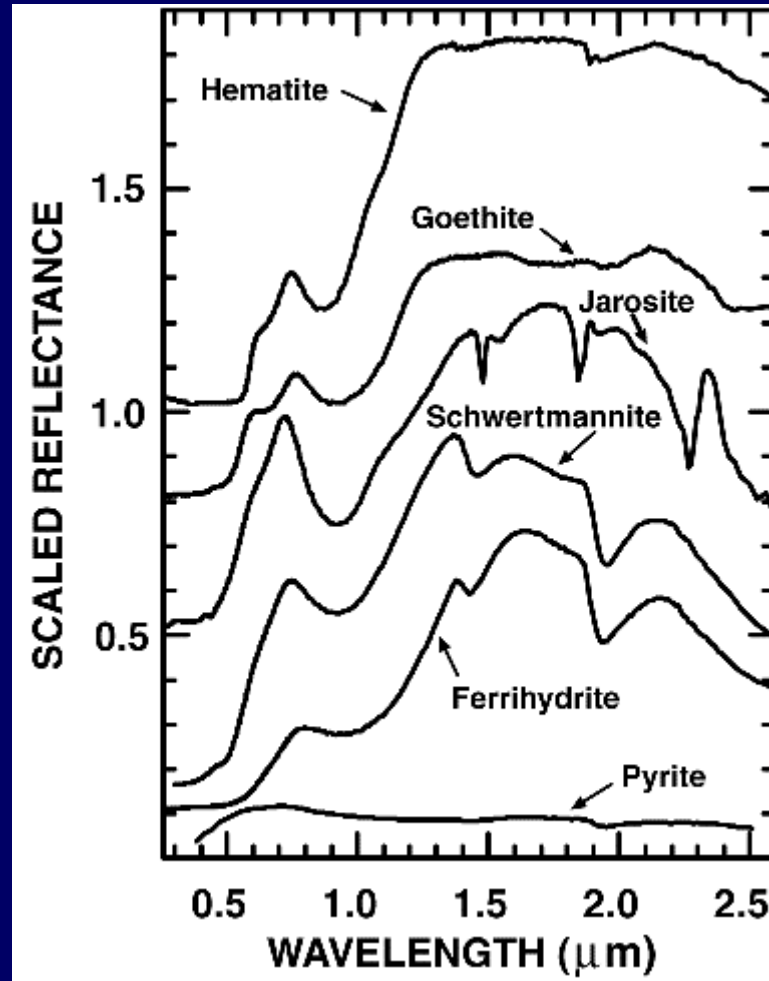


anthocyane + glucose





## Propriétés optiques des surfaces terrestres : les minéraux



Hématite :  $\text{Fe}_2\text{O}_3 \rightarrow$  oxide

Goethite :  $\text{Fe}^{3+}\text{O}(\text{OH}) \rightarrow$  hydroxide

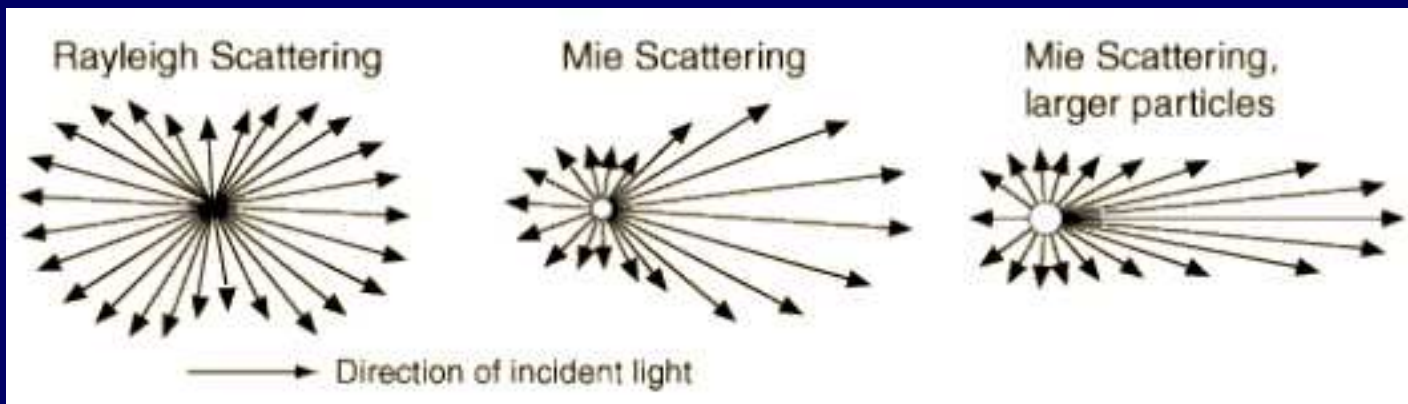
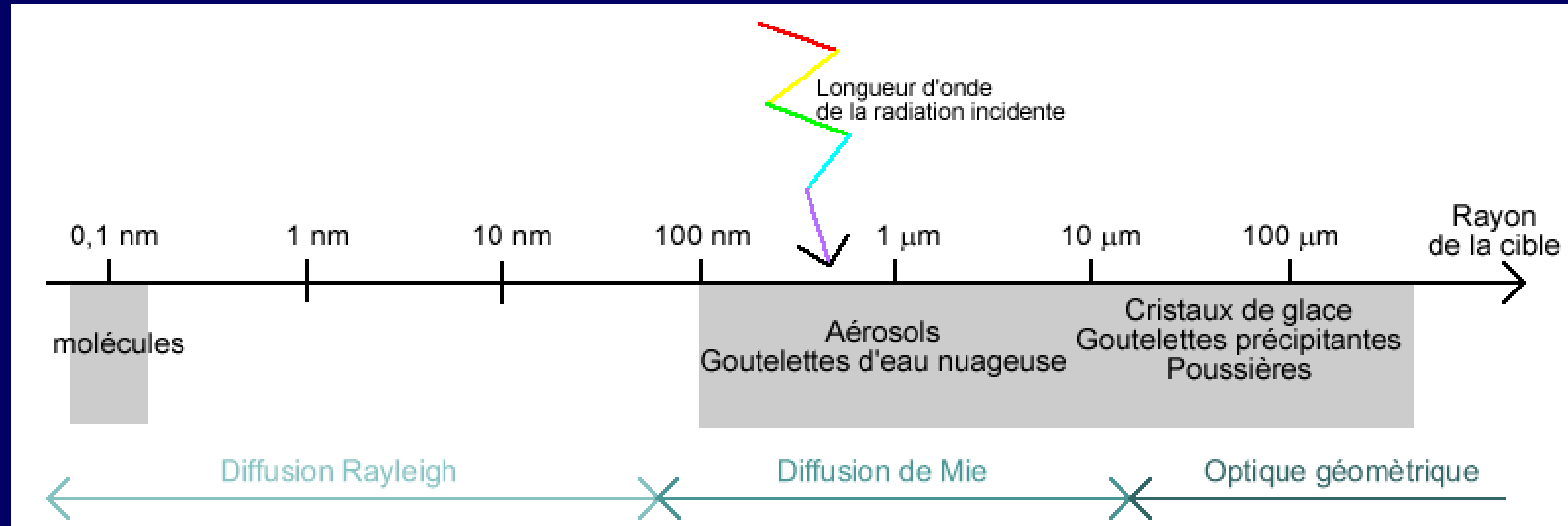
Jarosite :  $\text{K Fe}^{3+}_3(\text{SO}_4)_2(\text{OH})_6 \rightarrow$  sulfate

Schwertmannite :  $\text{Fe}^{3+}_{16}\text{O}_{16}(\text{OH})_{12}(\text{SO}_4)_2$

Ferrihydrite :  $\text{Fe}^{3+}_2\text{O}_3 \cdot 0.5(\text{H}_2\text{O}) \rightarrow$  oxide

Pyrite :  $\text{Fe S}_2 \rightarrow$  sulfide

## IV.2. Diffusion du REM par une particule



## Diffusion par les molécules gazeuses : diffusion de Rayleigh

$$\sigma_s(z) = \frac{8\pi^3}{3N_0\lambda^4} (n_0^2 - 1)^2 \frac{T_0 \times P(z)}{P_0 \times T(z)}$$

$\sigma_s$  = coefficient de diffusion du milieu (en  $\text{m}^{-1}$ )

$N_0$  = nombre de molécules par unité de volume (en  $\text{m}^{-3}$ )

$\lambda$  = longueur d'onde (en m)

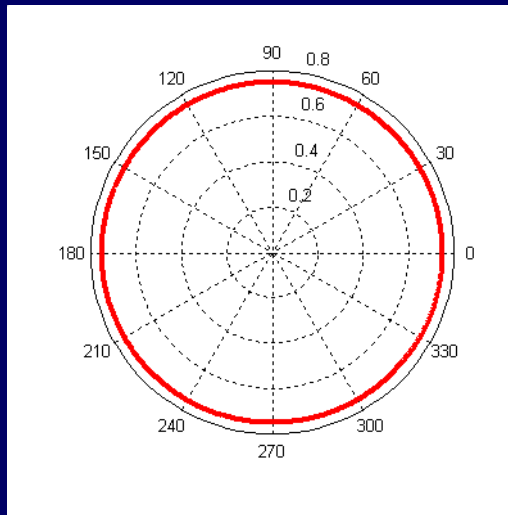
$T$  = température absolue (en K)

$P$  = pression (en Pa)

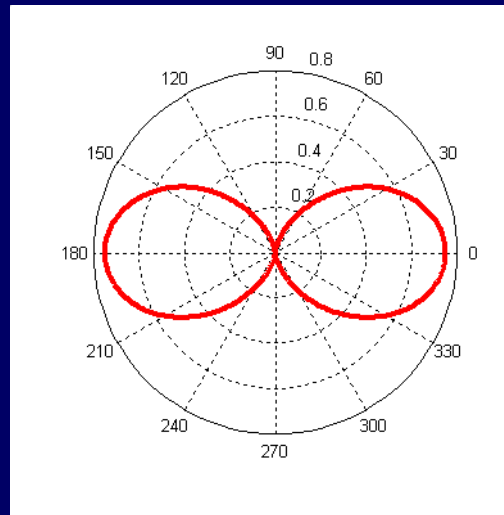
$n_0$  = indice de réfraction de l'air

L'épaisseur optique moléculaire  $\tau_R(\lambda)$  est donnée par :  $\tau_R(\lambda) = \int_0^\infty \sigma_s(\lambda, x) dx$

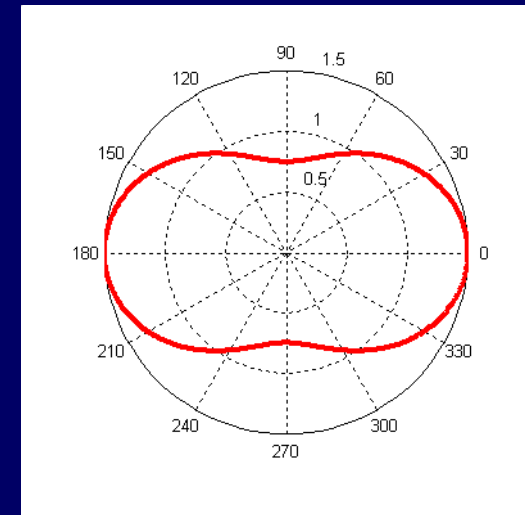
Et la fonction de phase des molécules gazeuses  $P(\theta)$  par :  $P(\theta) = \frac{3}{4}(1 + \cos^2 \theta)$



polarisation perpendiculaire



polarisation parallèle

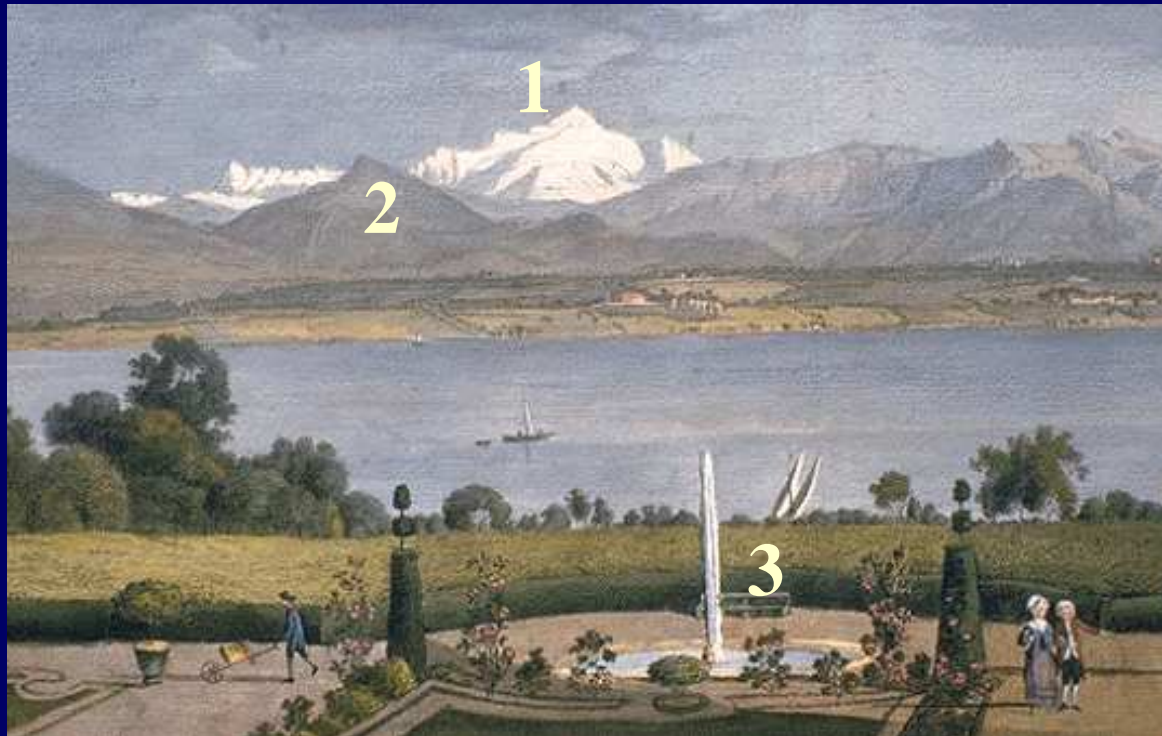
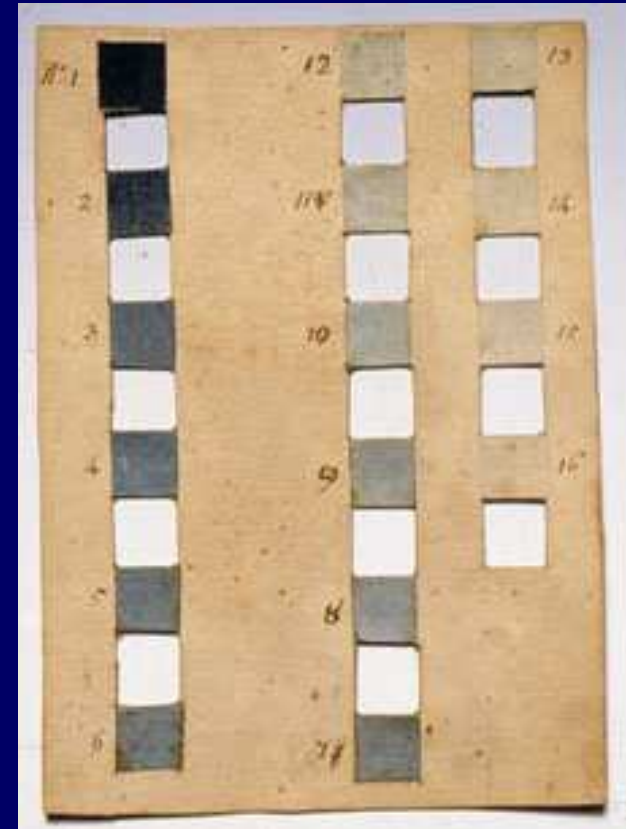


lumière naturelle



Horace-Bénédict de Saussure (1740-1799)

Le cyanomètre : 16 niveaux de bleu

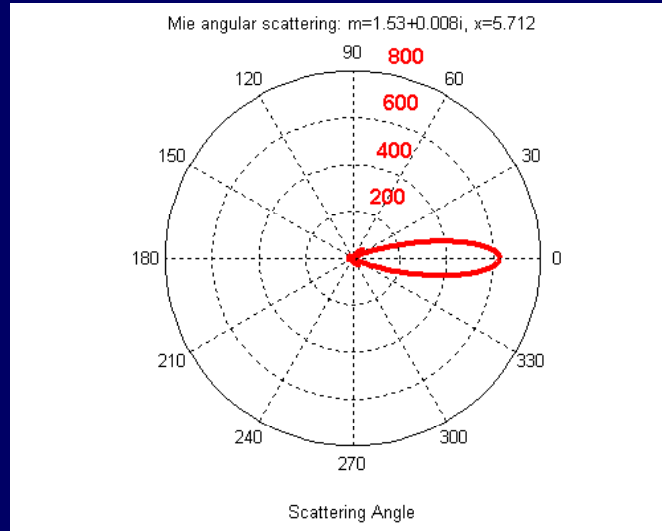


Expérience de 1787 :

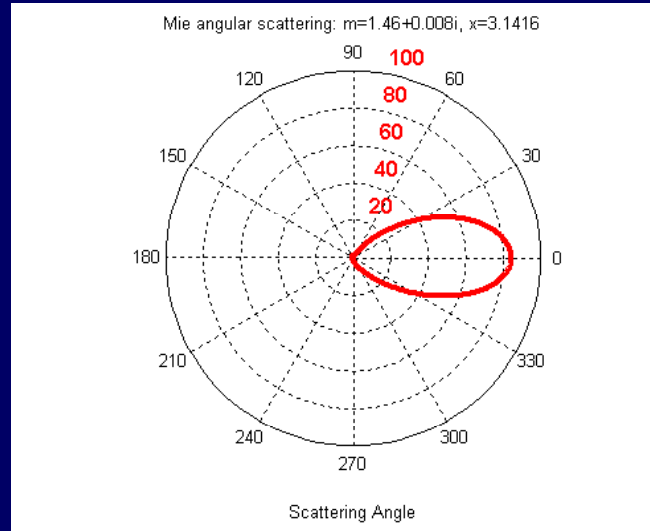
- (1) Mont Blanc = 1-2
- (2) Chamonix = 5-6
- (3) Genève = 7

# Diffusion par les aérosols : diffusion de Mie

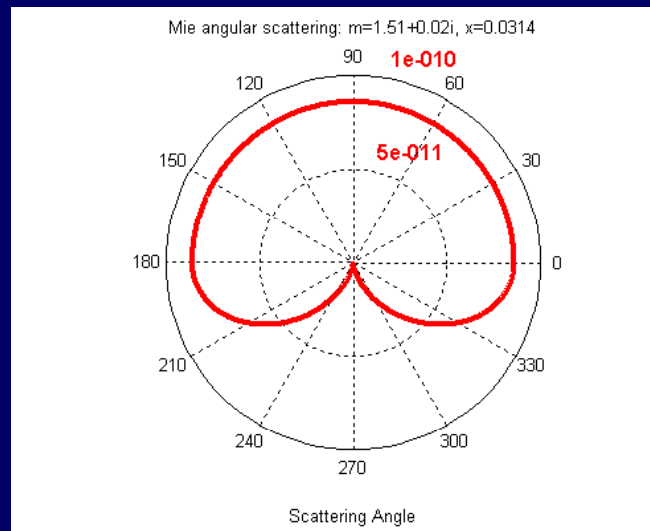
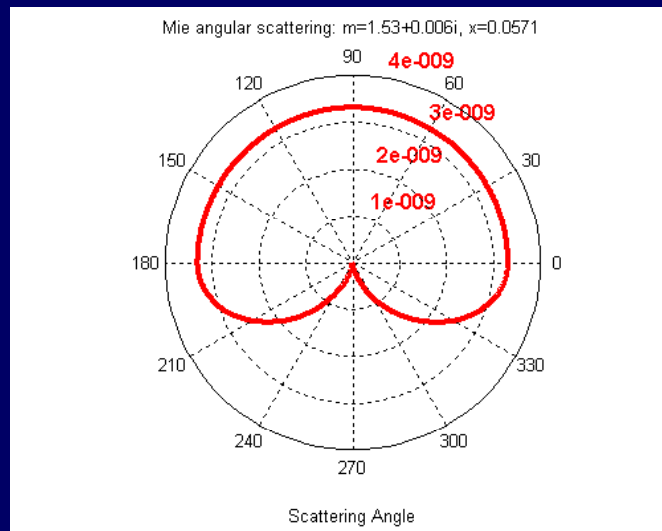
*0.55  $\mu\text{m}$*



*1.30  $\mu\text{m}$*



*Dust-like  
 $r = 0.5 \mu\text{m}$*



*Water soluble  
 $r = 0.005 \mu\text{m}$*

## Conséquence : la loi de Langley-Bouguer



$$R_{dir}(\lambda) = E_0(\lambda) e^{-\frac{\tau(\lambda)}{\cos\theta_s}}$$

$R_{dir}$  = rayonnement direct au niveau du sol (en  $\text{W m}^{-2}$ )

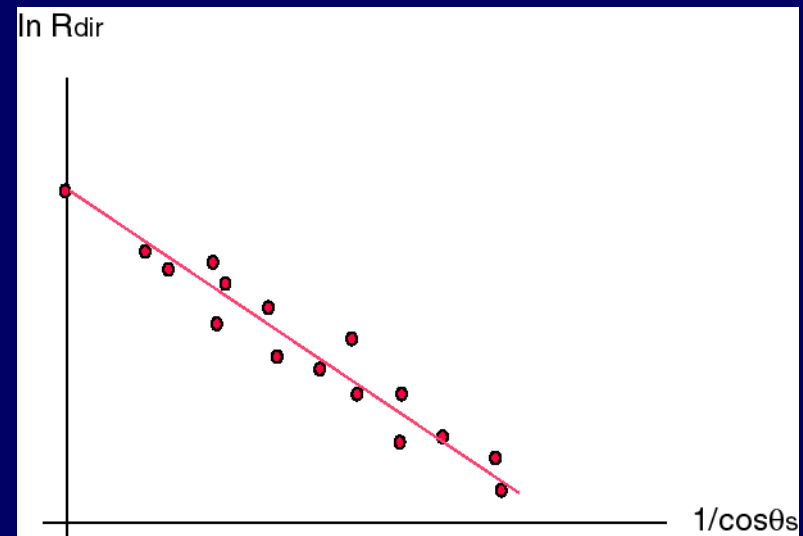
$E_0$  = irradiance solaire au delà de l'atmosphère (en  $\text{W m}^{-2}$ )

$\tau$  = épaisseur optique de l'atmosphère

=  $\tau_{\text{gaz}} + \tau_{\text{Rayleigh}} + \tau_{\text{Mie}}$

$\theta_s$  = angle zénithal solaire (en rad)

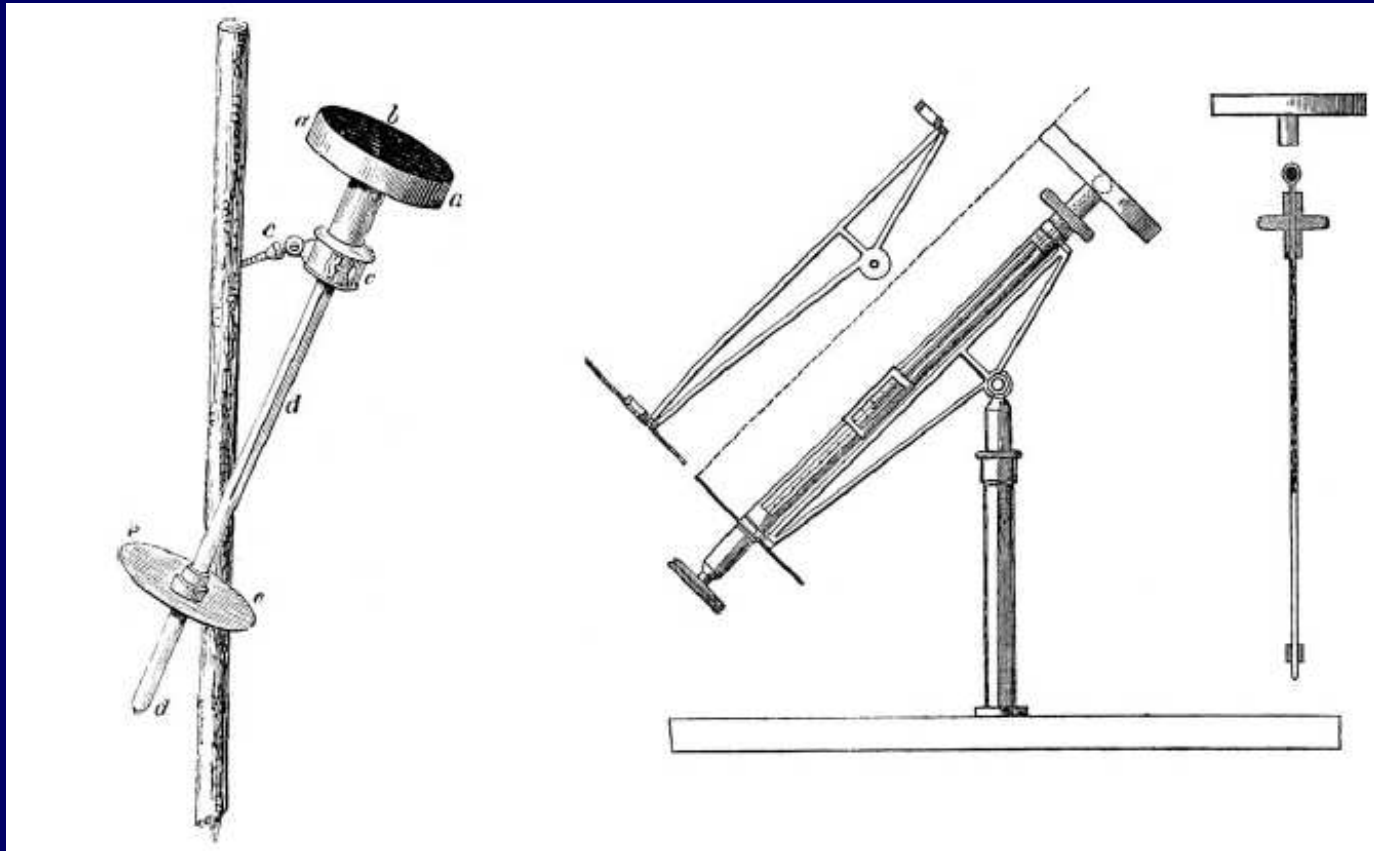
$$\ln R_{dir} = \ln E_0 - \tau \frac{1}{\cos\theta_s}$$





Claude Pouillet (1790-1868)

## Pyrhéliomètre

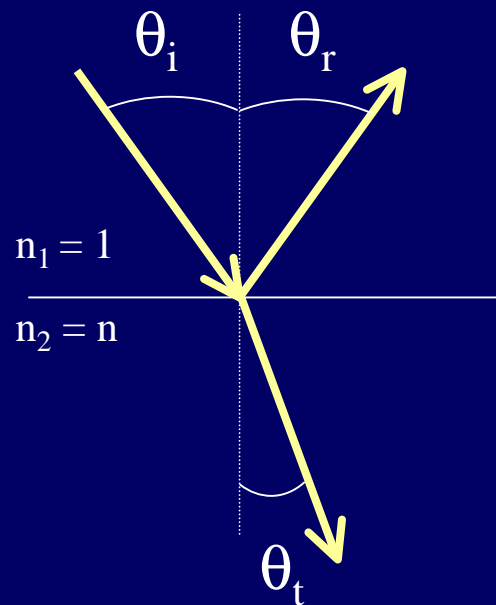


C. Pouillet (1838), *Mémoire sur la chaleur solaire, sur les pouvoirs rayonnants et absorbants de l'air atmosphérique, et sur la température de l'espace*, *C. R. Acad. Sci. Paris*, 7:24–65.

Le réseau AERONET : les données de tous les sites de mesure sont envoyées toutes les heures au Wallops Receiving Center par transmission satellite (GOES, METEOSAT)



### IV.3. Diffusion du REM par une surface



Loi de Snell-Descartes

#### DE'FINITION III.

*La Reflexibilité des Rayons, est leur disposition à être réfléchis ou renvoyés du Milieu, sur la surface duquel ils tombent, dans le Milieu d'où ils sont partis; & les Rayons sont plus ou moins reflexibles, selon qu'ils sont renvoyés avec plus ou moins de facilité.*

#### AXIOME I.

*LES Angles d'Incidence, de Reflexion & de Refraction sont dans un seul & même Plan.*

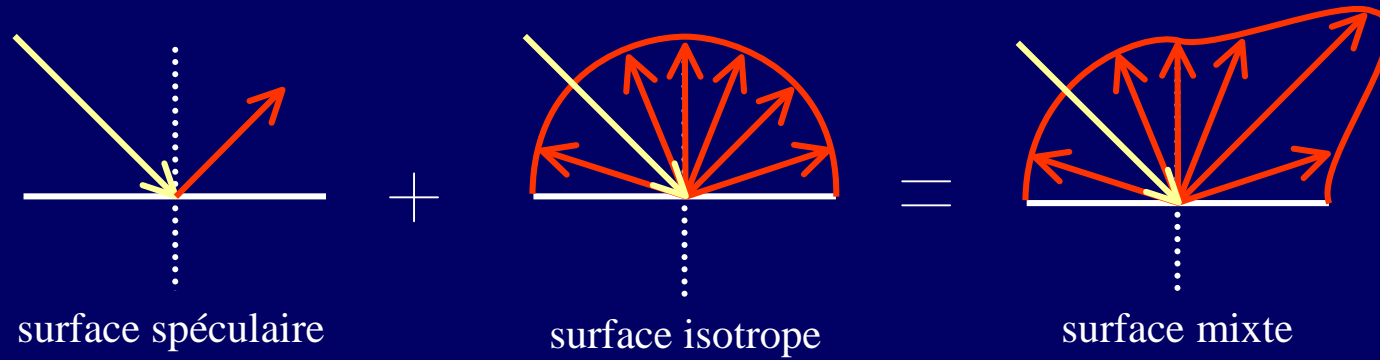
#### AXIOME II.

*L'Angle de Reflexion est égal à l'Angle d'Incidence.*

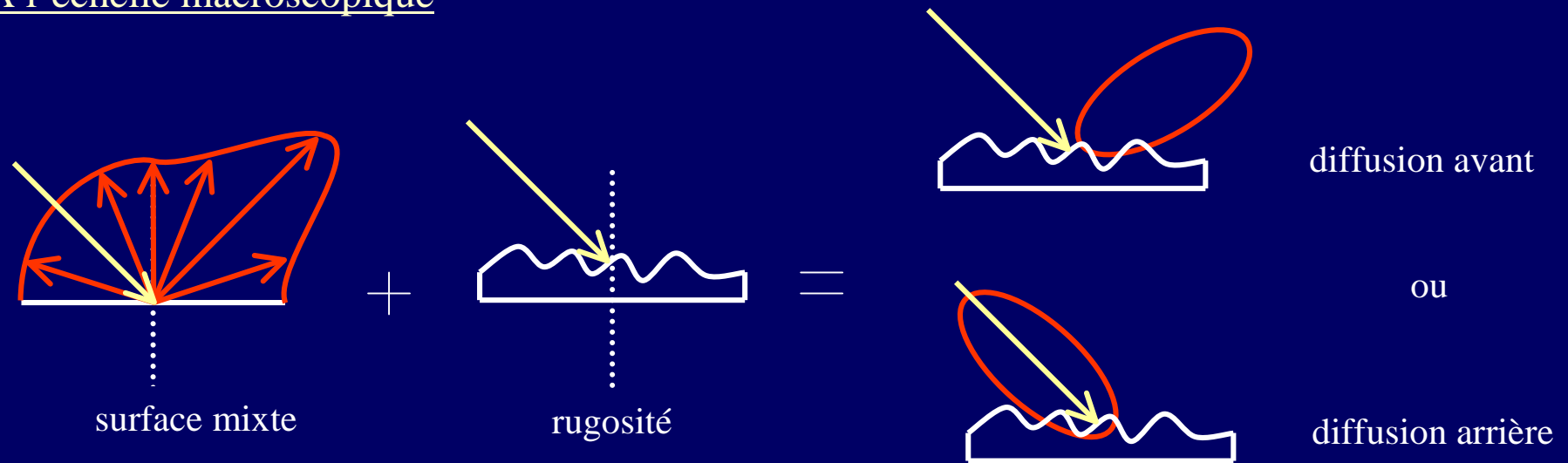
#### AXIOME IV.

*Quand un Rayon passe d'un Milieu plus rare dans un Milieu plus dense, la Refraction se fait en approchant de la Perpendiculaire, de sorte que l'Angle de Refraction se trouve moindre que l'Angle d'Incidence.*

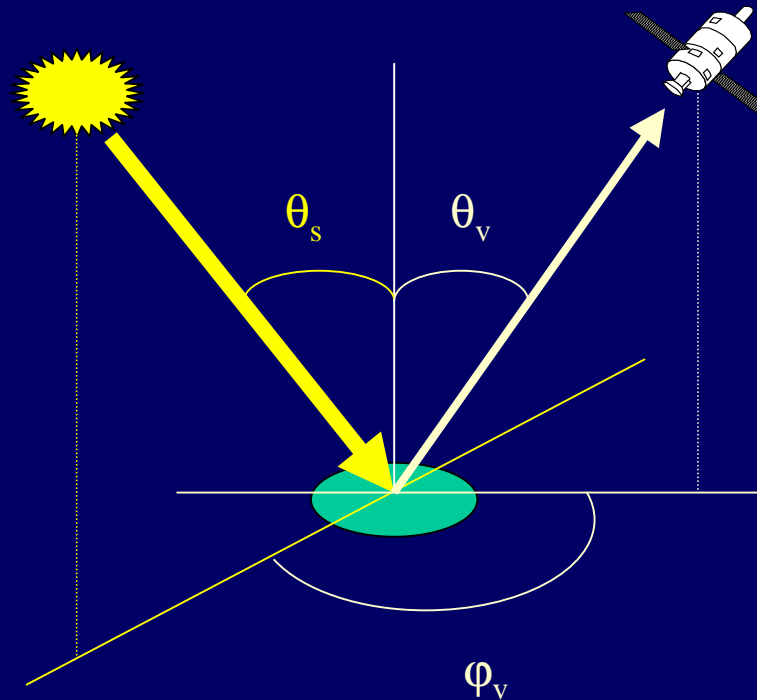
## A l'échelle microscopique



## A l'échelle macroscopique



## Notion de réflectance spectrale et directionnelle



⇒ propriétés optiques directionnelles

$\theta_s$  = angle zénithal solaire ( $0 < \theta_s < \pi/2$ )

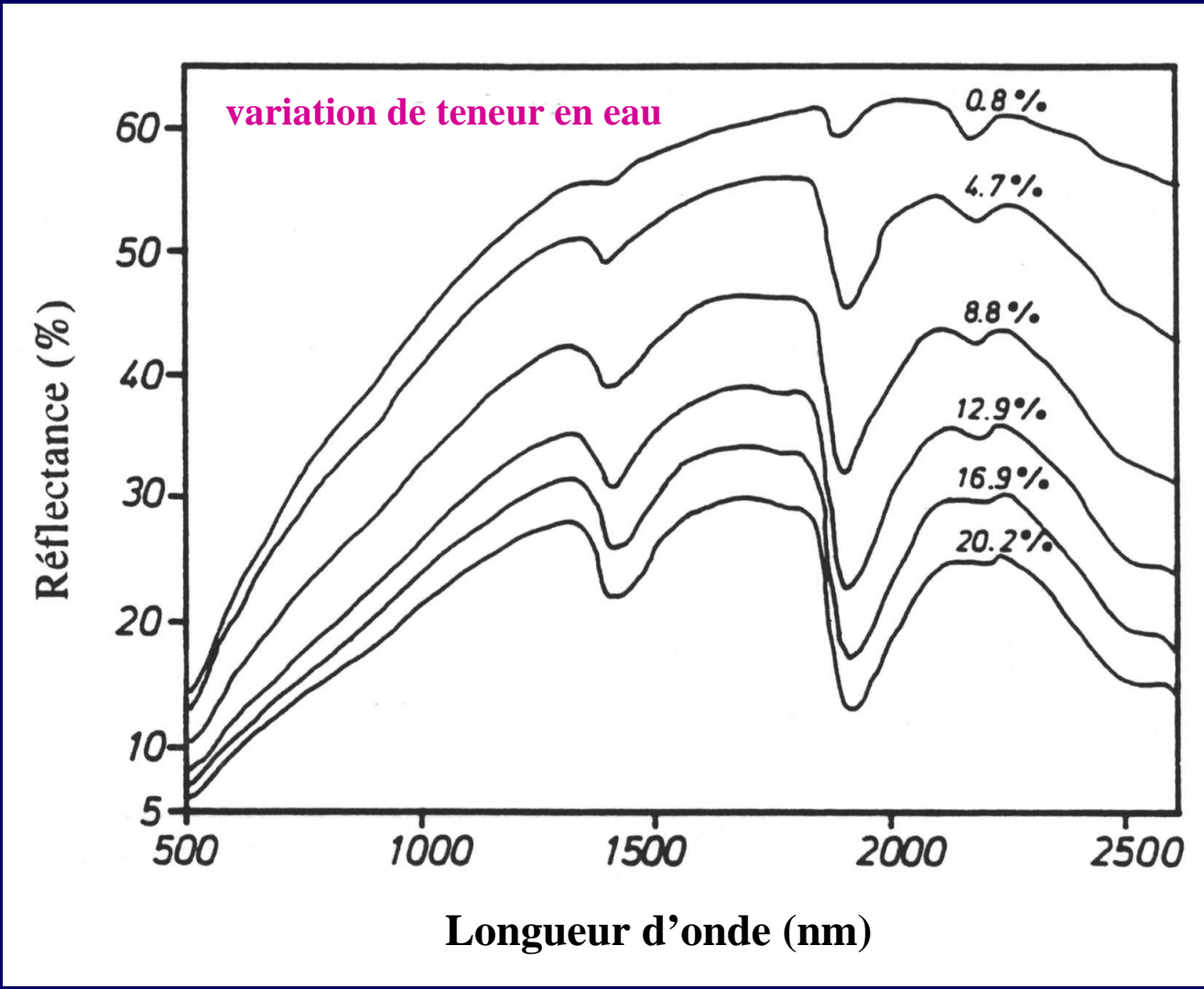
$\theta_v$  = angle zénithal de visée ( $0 < \theta_v < \pi/2$ )

$\phi_v$  = angle azimutal de visée relatif ( $0 < \phi_v < 2\pi$ )

⇒ propriétés optiques spectrales

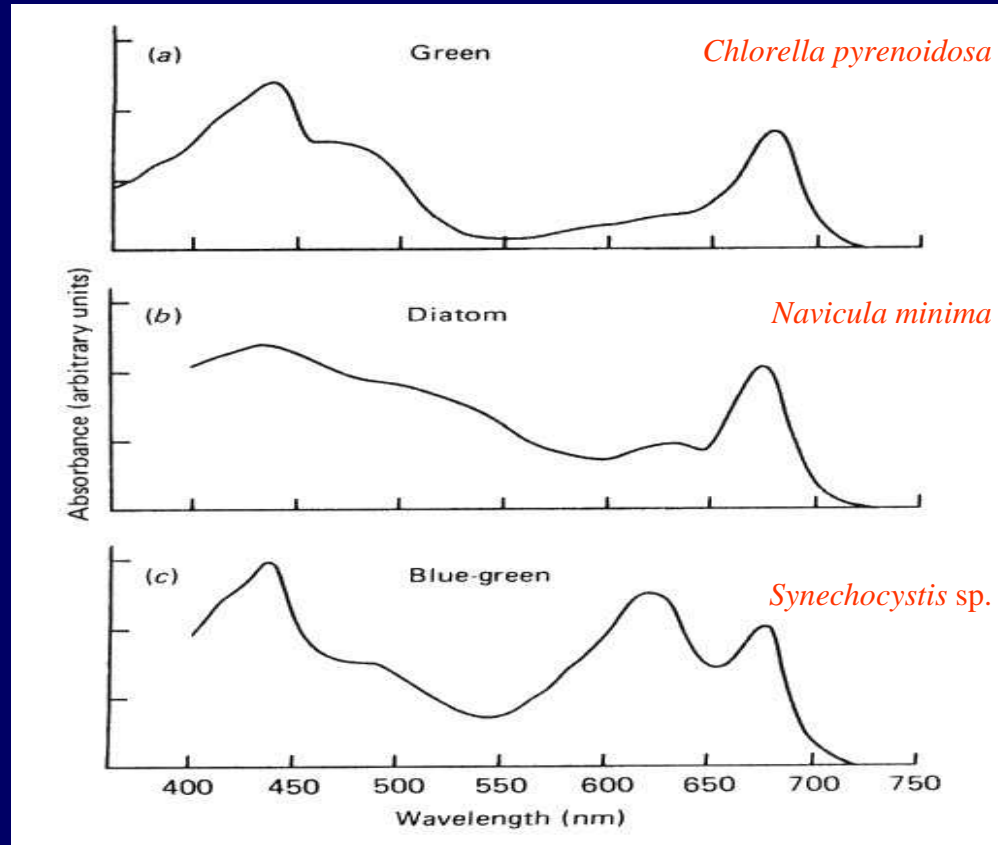
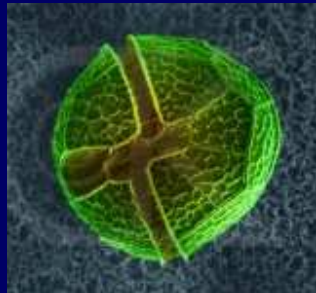
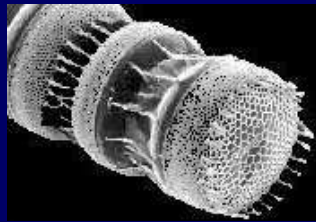
$\lambda$  = longueur d'onde ( $300 \text{ nm} < \lambda < 3000 \text{ nm}$ )

# Propriétés optiques des surfaces terrestres : les sols

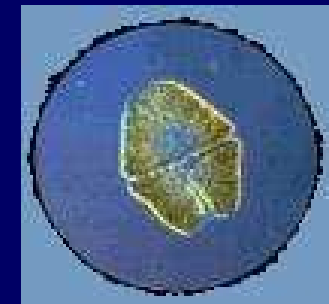


variation de couleur

# Propriétés optiques des surfaces terrestres : le phytoplancton



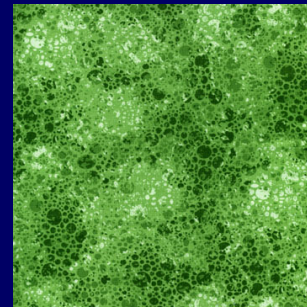
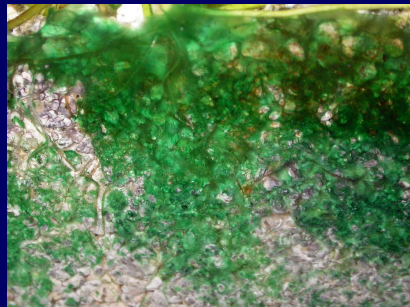
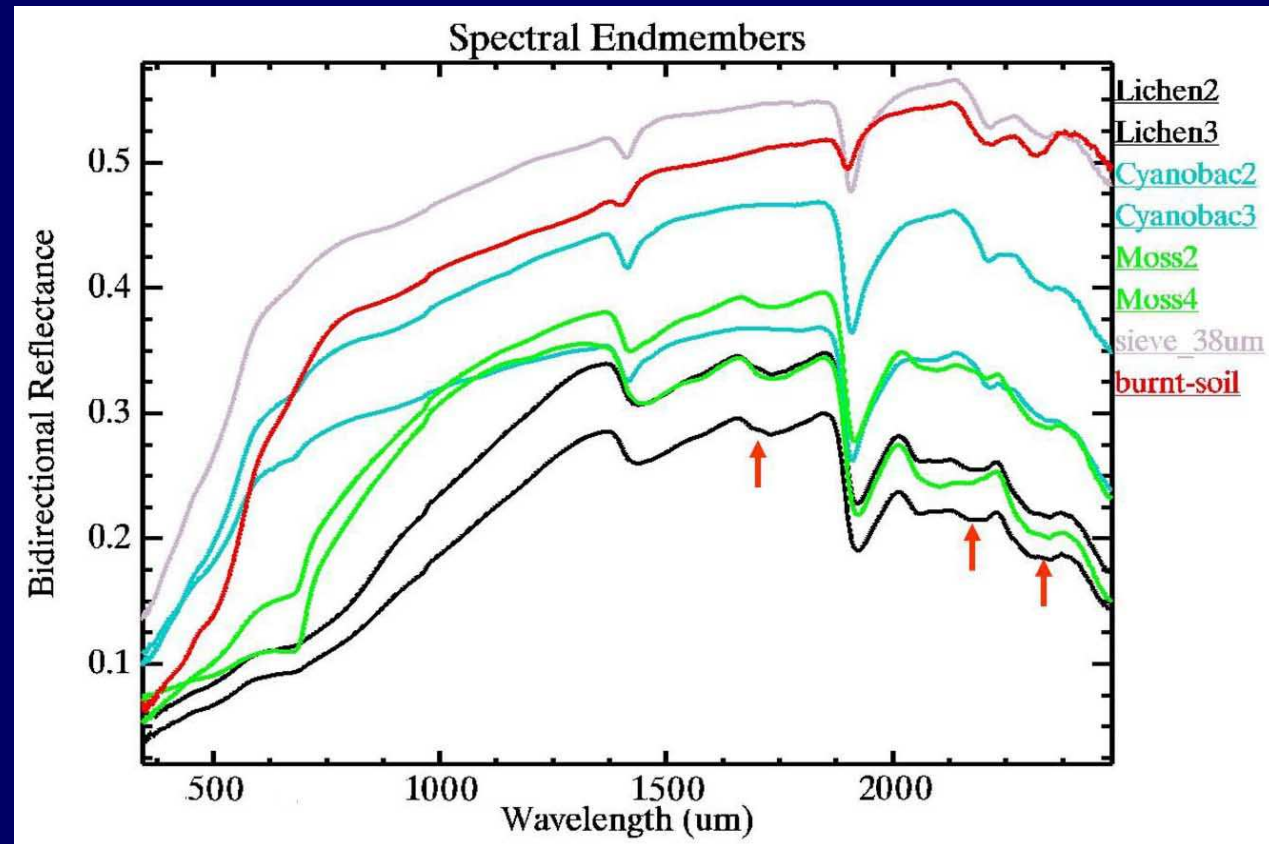
J.T.O. Kirk, 1994, *Light and Photosynthesis in Aquatic Ecosystems*, Cambridge university Press, 509 pages.



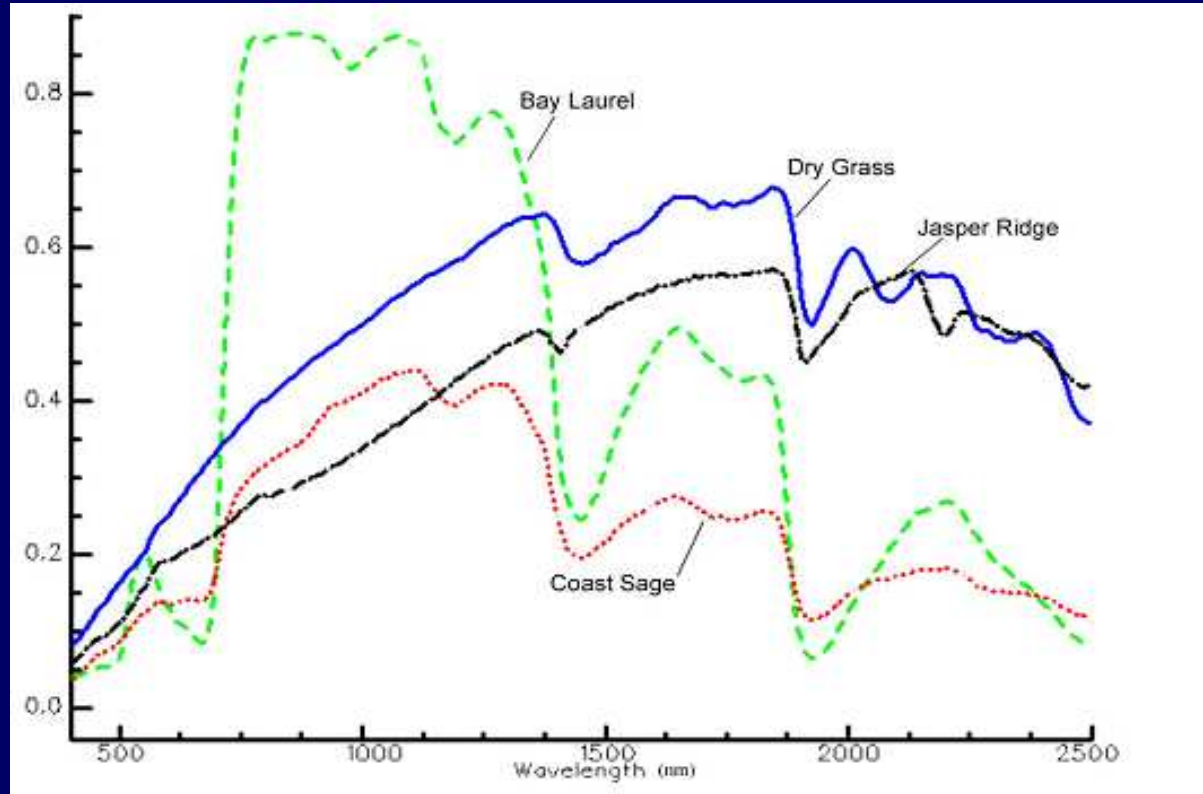
# Propriétés optiques des surfaces terrestres : les végétaux inférieurs

Mojave ecosystem  
Nevada Test Site

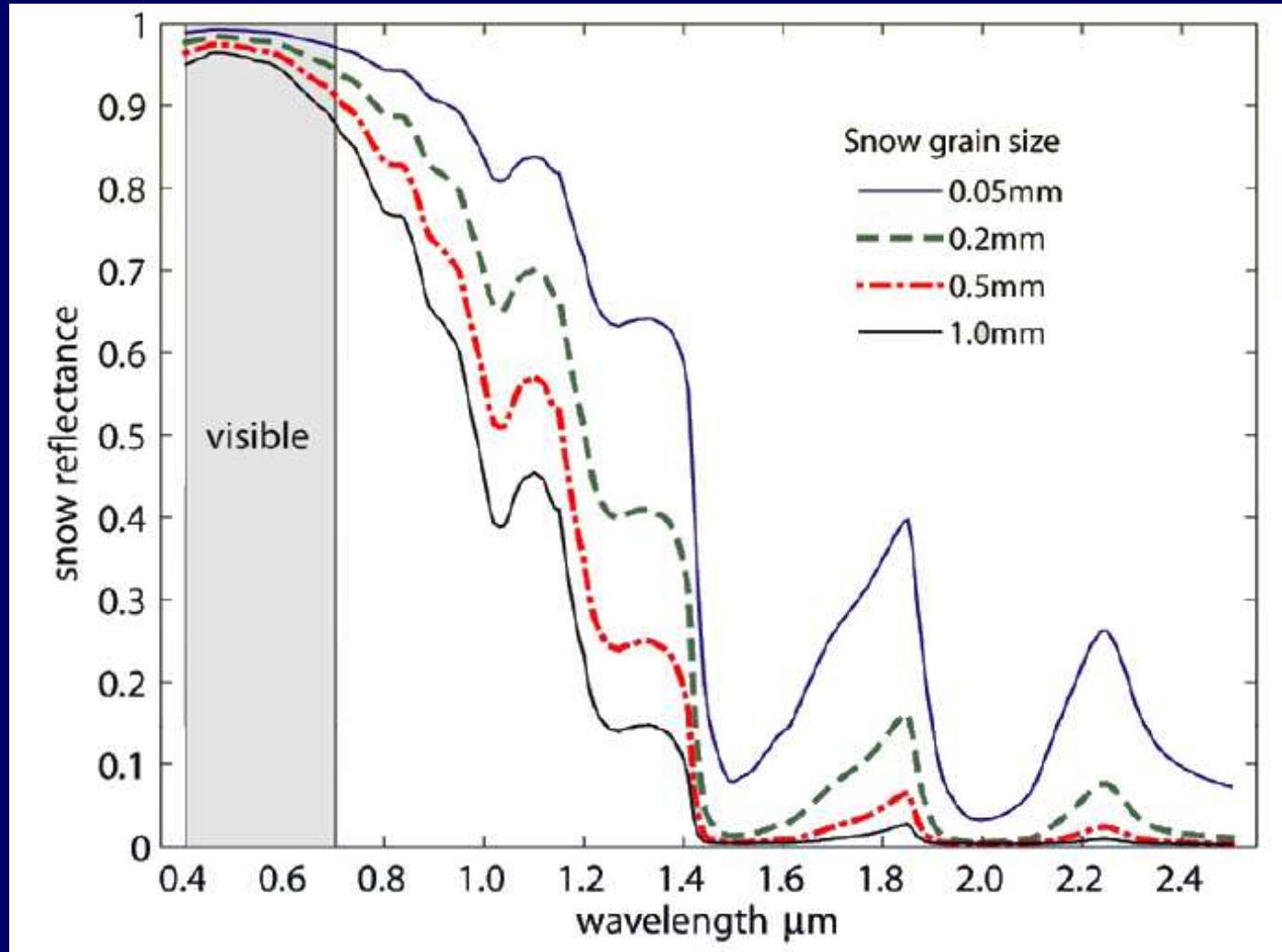
Source : Susan Ustin (UC Davis)



# Propriétés optiques des surfaces terrestres : les végétaux supérieurs

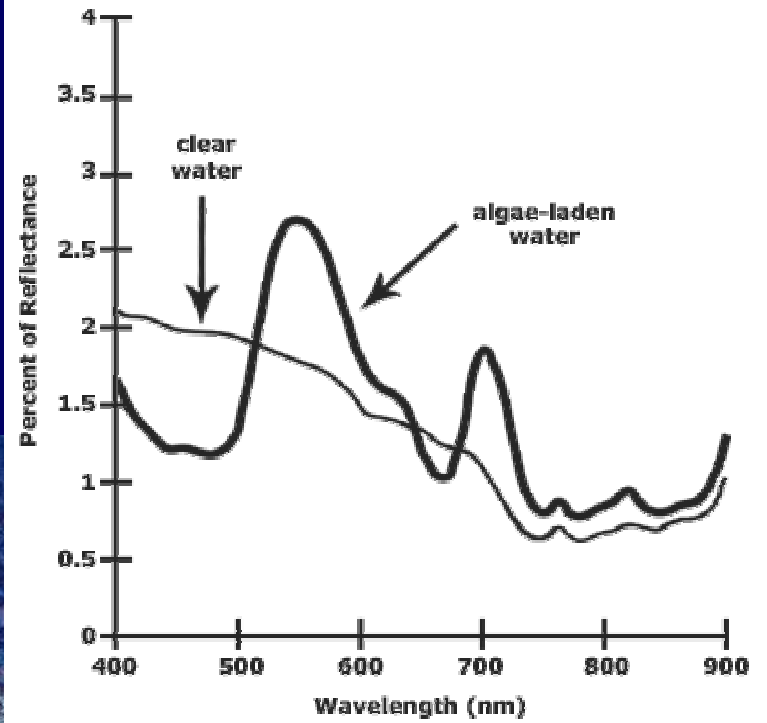


# Propriétés optiques des surfaces terrestres : la neige



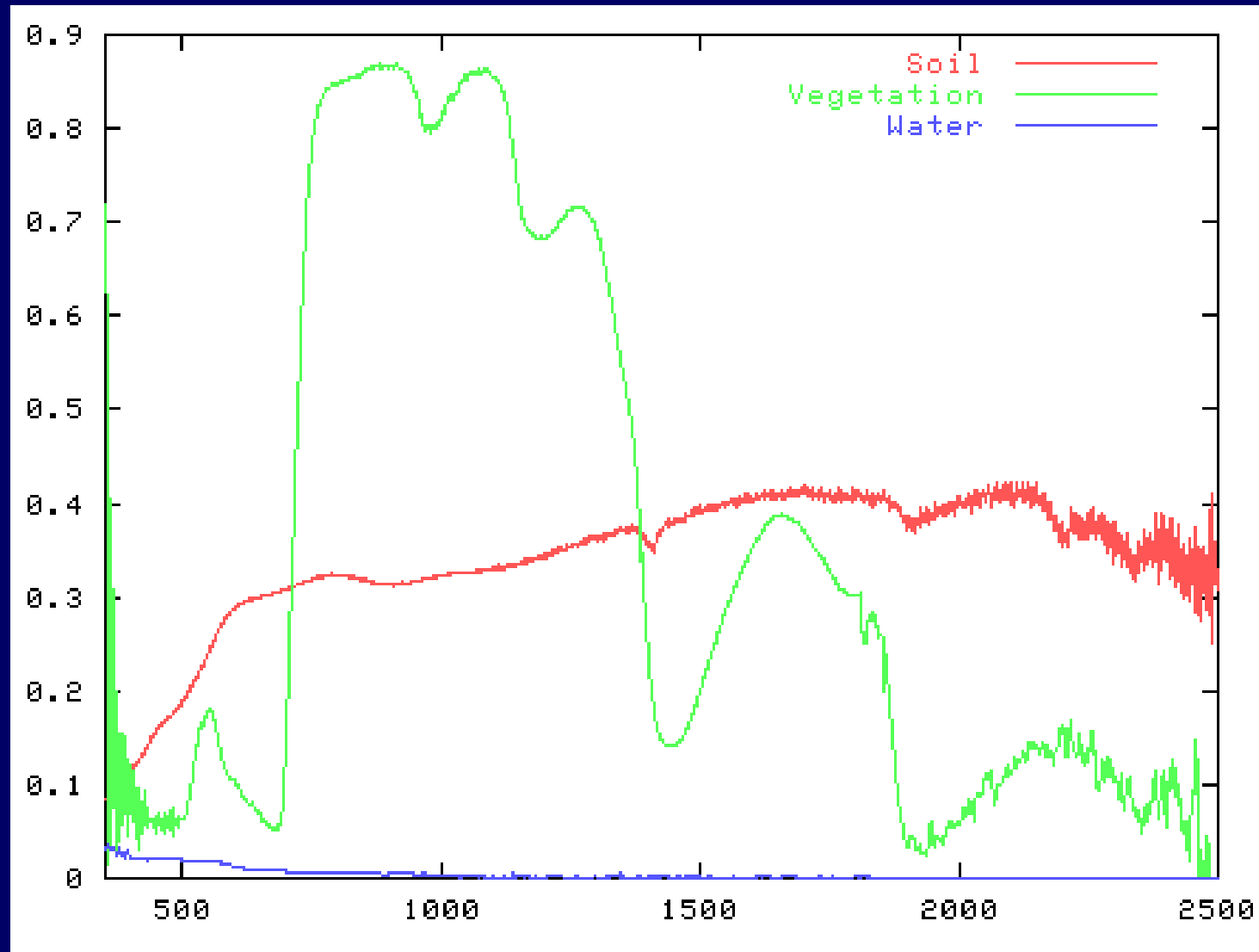
Source : Jeff Dozier (UC Santa Barbara)  
<http://www.ices.ucsb.edu/hydro/aviris/optics.html>

# Propriétés optiques des surfaces terrestres : l'eau



Buck Island, St. Croix, USVI  
Dec. 2005, NASA Digital Camera System Image  
Contact:  
Dr. Liane Guild  
Liane.S.Guild@nasa.gov

## Propriétés optiques des surfaces terrestres : notion de signature spectrale



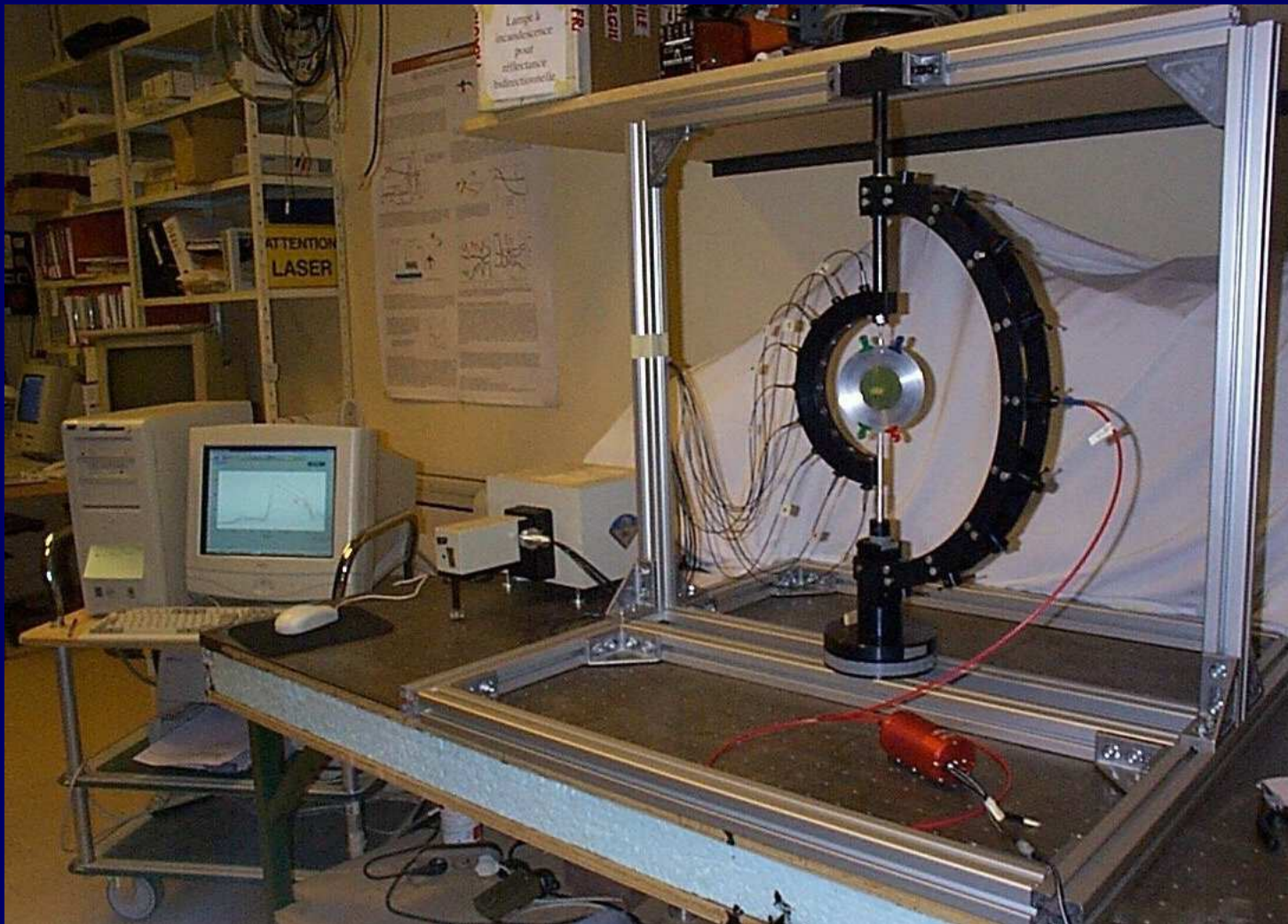
## V. Les plates-formes de télédétection

V.1. Plates-formes terrestres



**GDR D1536**  
**FLUOVEG**

CNRS INRA CNES CEA MENRT



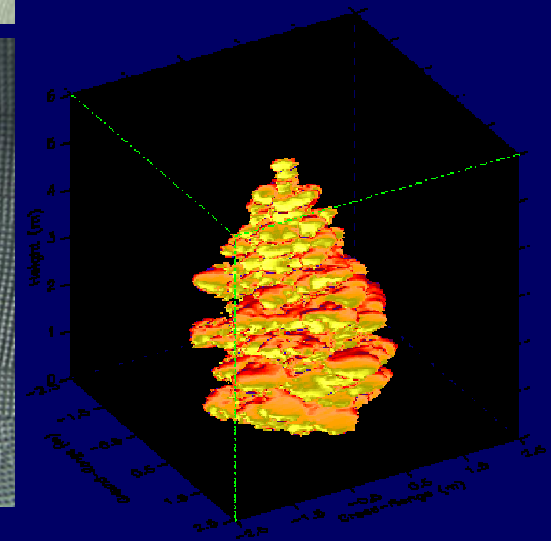
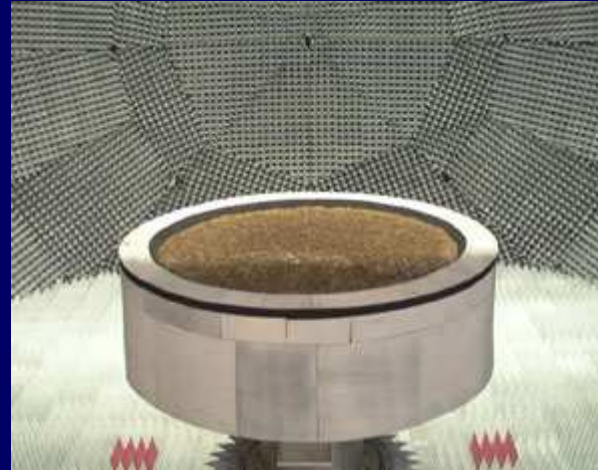
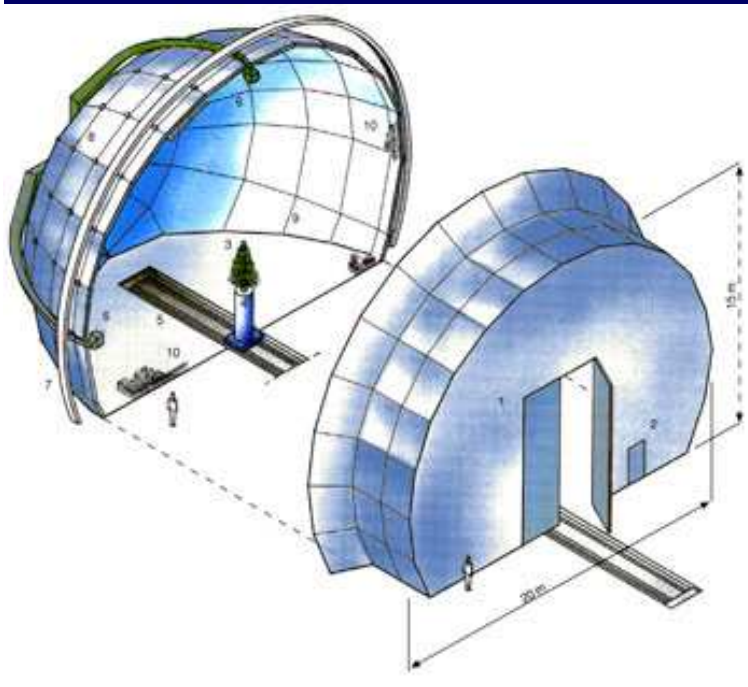


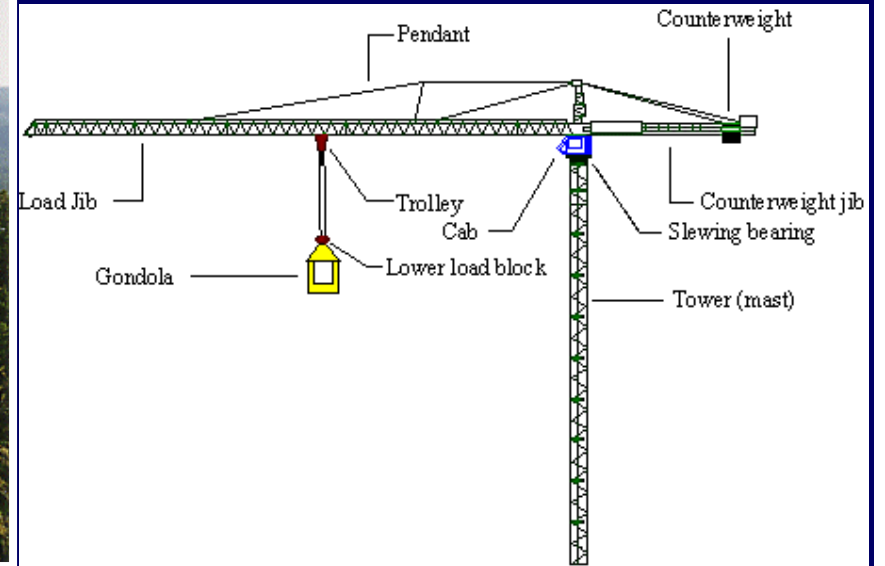
Image 3-D ISAR d'un sapin  
(bandes L, S, C / polarisation VV)

Santa Monica Mountains  
(California, June 1995)



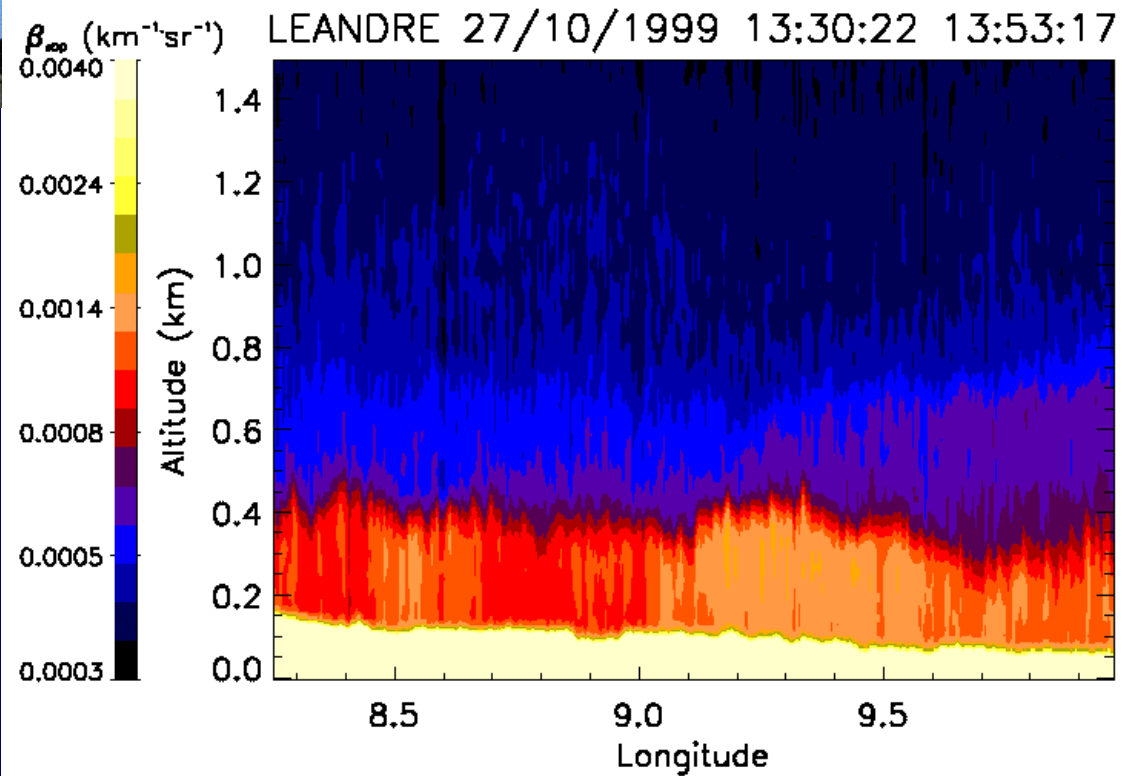


## Wind River Canopy Crane (Oregon, Juillet 1996)



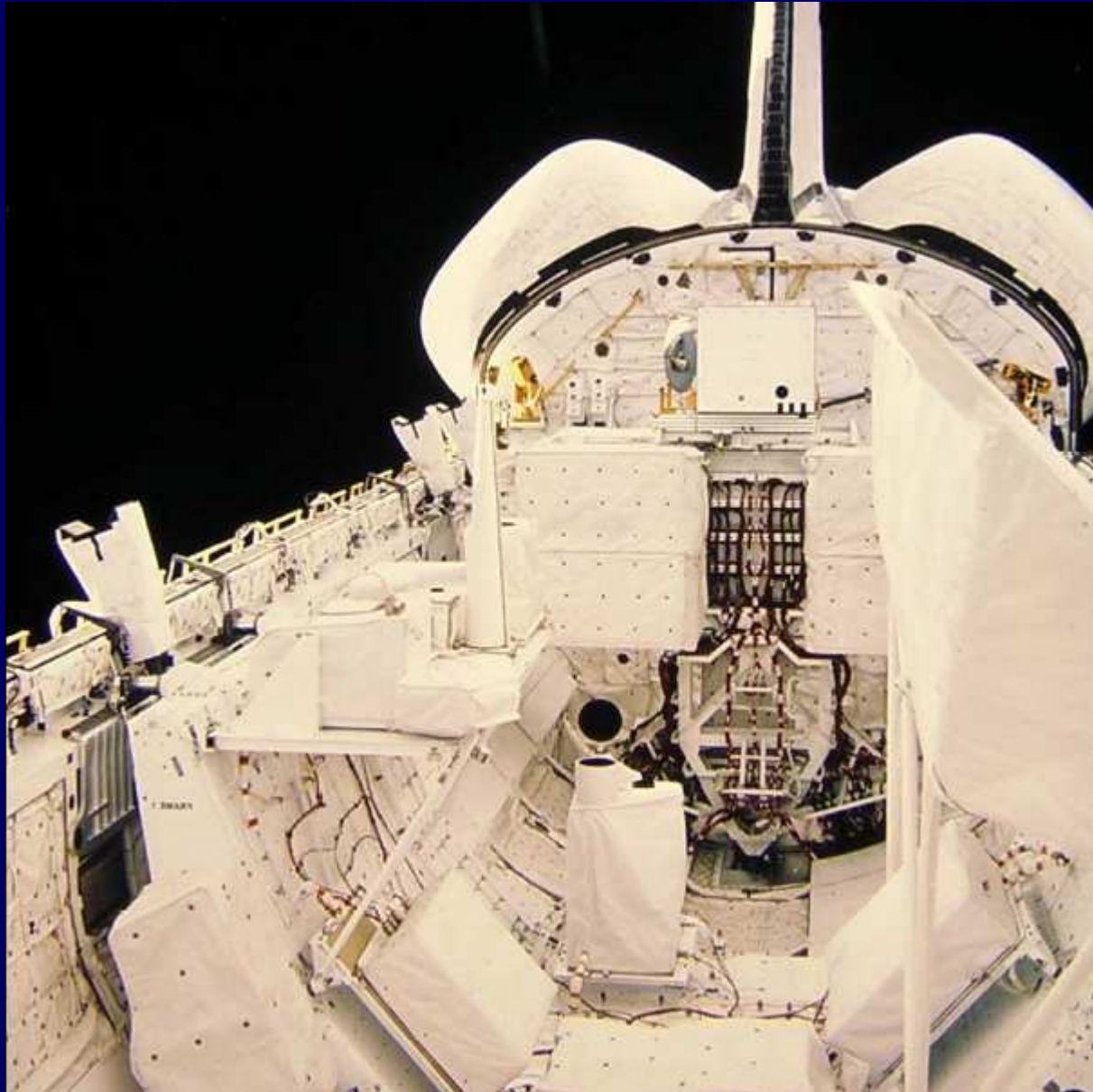
## V.2. Plates-formes aériennes

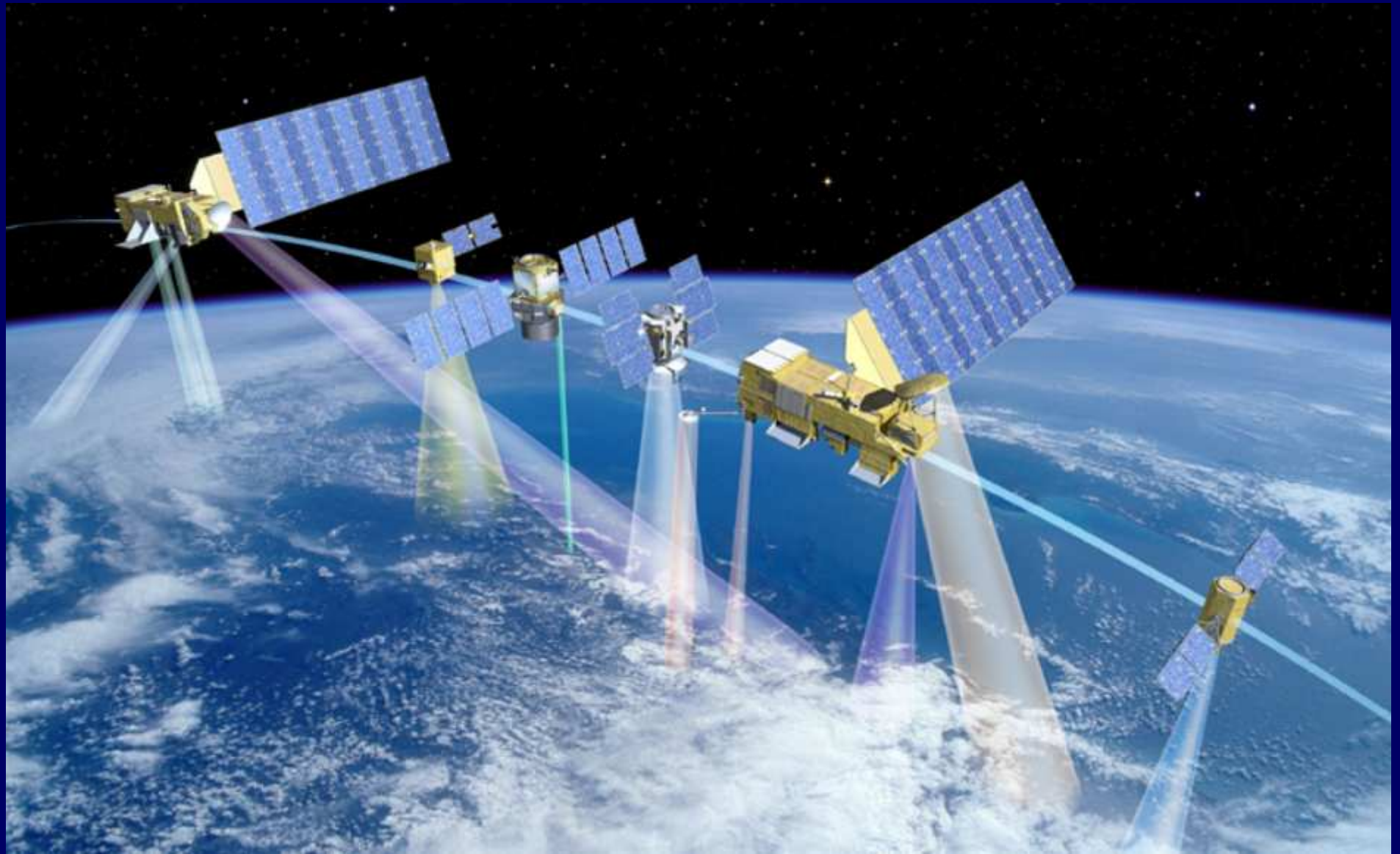
Réflectivité lidar mesurée à partir de l'avion ARAT (Avion de Recherche Atmosphérique et de Télédétection) sur la vallée du Pô (Italie) en octobre 1999

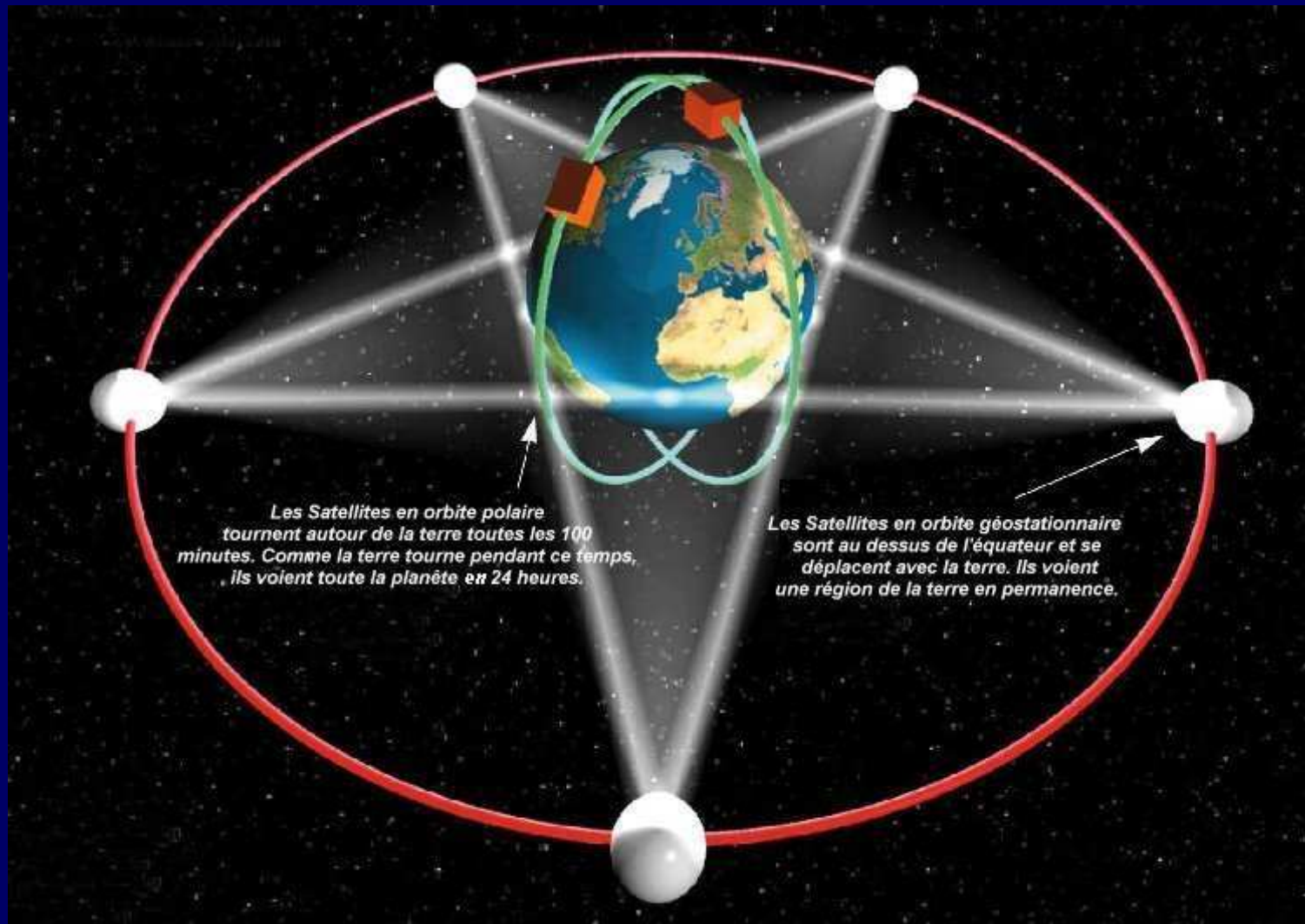


*Cyrille Flamant, Aime Druihlet, Vincent Trouillet, Christian Allet, Sandrine Bernard*

### V.3. Plates-formes spatiales







*Les Satellites en orbite polaire  
tournent autour de la terre toutes les 100  
minutes. Comme la terre tourne pendant ce temps,  
ils voient toute la planète en 24 heures.*

*Les Satellites en orbite géostationnaire  
sont au dessus de l'équateur et se  
déplacent avec la terre. Ils voient  
une région de la terre en permanence.*

